

بسم الله الرحمن الرحيم



دانشگاه حکیم بسزوری

دانشکده ریاضی و علوم کامپیوتر

پایان نامه برای دریافت درجه کارشناسی ارشد در رشته ریاضی کاربردی
گرایش تحقیق در عملیات

حل مسئله مکان یابی هاب مسطح تک تخصیصی بدون ظرفیت با الگوریتم ژنتیک

استاد راهنما

دکتر محمود امین طوسی

استاد مشاور

دکتر مهدی زعفرانیه

پژوهشگر:

زهرا حسن زاده

شهریور ۱۳۹۷



دانشگاه آزاد اسلامی

باسمه تعالی

فرم ارزشیابی و صورتجلسه دفاع از پایان نامه کارشناسی ارشد

فرم ۱۱۳-ت

جلسه دفاع از پایان نامه آقای / خانم زهرا حسن زاده دانشجوی رشته ریاضی کاربردی گرایش تحقیق در عملیات به شماره دانشجویی ۹۳۱۳۱۳۳۰۳۹ با عنوان:

حل مسئله مکان یابی هاب مسطح تک تخصیصی بدون ظرفیت با الگوریتم ژنتیک

در مورخه در دانشکده ریاضی و علوم کامپیوتر تشکیل و توسط هیات داوران مورد ارزشیابی قرار گرفت و نمره برابر درجه برای آن تعیین گردید .
به این ترتیب از این تاریخ آقای / خانم زهرا حسن زاده به عنوان کارشناس ارشد در رشته مذکور شناخته می شود .

نمره کسب شده	حداکثر نمره	موارد	موارد ارزشیابی
	۴	رعایت اصول نگارش انسجام در تنظیم بخشهای مختلف، کیفیت تصاویر، جداول و اشکال، تنظیم فهرست ها، منابع و ماخذ	۱- کیفیت نگارش
	۱۰	بررسی تاریخچه و سابقه تجربی و نظری موضوع انسجام منطقی در بخش های مختلف پایان نامه، ابتکار و نوآوری، اهمیت و ارزش علمی پایان نامه، استفاده از منابع معتبر و جدید، کیفیت تجزیه و تحلیل یافته ها و نتیجه گیری، روشن بودن روش کار، هدف ها و فرضیه های تحقیق، جدید بودن روش تحقیق	۲- کیفیت علمی
	۴	تسلط بر موضوع و بیان واضح و تفهیم آن، توانایی در پاسخگویی به سوالات مطرح شده در جلسه، رعایت زمان ارائه، روش ارائه	۳- کیفیت ارائه در جلسه دفاع
	۱	گزارش های دوره ای پیشرفت کار (حداقل ۴ مورد)	۴- ارزشیابی گزارشات
	۱	مقاله مستخرج از پایان نامه: این نمره به صورت زیر اختصاص می یابد (۱) چکیده کنفرانسی هر مورد ۰/۲۵ نمره تا سقف ۰/۵ نمره (۲) مقاله کامل در مجموع مقالات همایشهای معتبر یا مقاله در مجلات علمی-ترویجی معتبر پذیرفته شده یا چاپ شده هر مورد ۰/۵ نمره تا سقف ۱ نمره (۳) مقاله پذیرفته شده یا چاپ شده در مجلات علمی پژوهشی معتبر ۱ نمره (۴) مقاله ارسال شده به مجلات علمی پژوهشی معتبر هر مورد ۰/۲۵ نمره تا سقف ۰/۵ نمره (۵) دستگاه ساخته شده دارای گواهی ثبت اختراع یا به سفارش سازمان ها تا سقف ۱ نمره (۶) دستگاه ساخته شده کاربردی که به تایید رئیس دانشکده رسیده باشد تا سقف ۰/۵ نمره	۵- خروجی پایان نامه
جمع			

درجه معادل کسب شده: (از ۱۹ تا ۲۰ عالی) از ۱۸ تا ۱۸/۹۹ بسیار خوب از ۱۶ تا ۱۷/۹۹ خوب از ۱۴ تا ۱۵/۹۹ قابل قبول کمتر از ۱۴ غیر قابل قبول

مشخصات هیات داوران

ردیف	نام و نام خانوادگی	سمت	مرتبۀ علمی	محل کار	امضا
۱	دکتر محمود امین طوسی	استاد راهنما	استادیار	دانشگاه سبزوار	حکیم
۲	دکتر مهدی زعفرانی	استاد مشاور	استادیار	دانشگاه سبزوار	حکیم
۳	دکتر علی اصغر مولوی	استاد داور	استادیار	دانشگاه سبزوار	حکیم
۴	دکتر غلامرضا مقدسی	نماینده تحصیلات تکمیلی	استادیار	دانشگاه سبزوار	حکیم

امضا

رئیس دانشکده

امضا

مدیر گروه



سوگند نامه دانش آموختگان دانشگاه حکیم سبزواری

به نام خداوند جان و خرد کزین برتر اندیشه بر نگذرد

اینک که به خواست آفریدگار پاک، کوشش خویش و بهره گیری از دانش استادان و سرمایه‌های مادی و معنوی این مرز و بوم، توشه‌ای از دانش و خرد گردآورده‌ام، در پیشگاه خداوند بزرگ سوگند یاد می‌کنم که در به کارگیری دانش خویش، همواره بر راه راست و درست گام بردارم. خداوند بزرگ، شما شاهدان، دانشجویان و دیگر حاضران را به عنوان داورانی امین گواه می‌گیرم که از همه دانش و توان خود برای گسترش مرزهای دانش بهره‌گیرم و از هیچ کوششی برای تبدیل جهان به جایی بهتر برای زیستن، دریغ نورزم. پیمان می‌بندم که همواره کرامت انسانی را در نظر داشته باشم و هموعان خود را در هر زمان و مکان تا سر حد امکان یاری دهم. سوگند می‌خورم که در به کارگیری دانش خویش به کاری که با راه و رسم انسانی، آیین پرهیزگاری، شرافت و اصول اخلاقی برخاسته از ادیان بزرگ الهی، به ویژه دین مبین اسلام، مباینت دارد دست نیازم. همچنین در سایه اصول جهان شمول انسانی و اسلامی، پیمان می‌بندم از هیچ کوششی برای آبادانی و سرافرازی میهن و هم میهنانم فروگذاری نکنم و خداوند بزرگ را به یاری طلبم تا همواره در پیشگاه او و در برابر وجدان بیدار خویش و ملت سرافراز، بر این پیمان تا ابد استوار بمانم.

نام و نام خانوادگی: زهرا حسن زاده

تاریخ و امضا:

تأییدی صحت و اصالت نتایج

باسمه تعالی

اینجانب زهرا حسن زاده به شماره دانشجویی ۹۳۱۳۱۳۳۰۳۹ دانشجوی رشته ریاضی کاربردی مقطع تحصیلی کارشناسی ارشد تأیید می‌نمایم که کلیه نتایج این پایان‌نامه حاصل کار اینجانب و بدون هرگونه دخل و تصرف است و موارد نسخه برداری شده از آثار دیگران را با ذکر کامل مشخصات منبع ذکر کرده‌ام. در صورت اثبات خلاف مندرجات فوق، به تشخیص دانشگاه مطابق با ضوابط و مقررات حاکم (قانون حمایت از حقوق مؤلفان و مصنفان و قانون ترجمه و تکثیر کتب و نشریات و آثار صوتی، ضوابط و مقررات آموزشی، پژوهشی و انضباطی ...) با اینجانب رفتار خواهد شد و حق هرگونه اعتراض در خصوص احقاق حقوق مکتسب و تشخیص و تعیین تخلف و مجازات را از خویش سلب می‌نمایم. در ضمن، مسئولیت هرگونه پاسخگویی به اشخاص اعم از حقیقی و حقوقی و مراجع ذی صلاح (اعم از اداری و قضایی) به عهده ی اینجانب خواهد بود و دانشگاه هیچ گونه مسئولیتی در این خصوص نخواهد داشت.

نام و نام خانوادگی: زهرا حسن زاده

تاریخ و امضا:

مجوز بهره برداری از پایان نامه

بهره برداری از این پایان نامه در چهارچوب مقررات کتابخانه و با توجه به محدودیتی که توسط استاد راهنما به

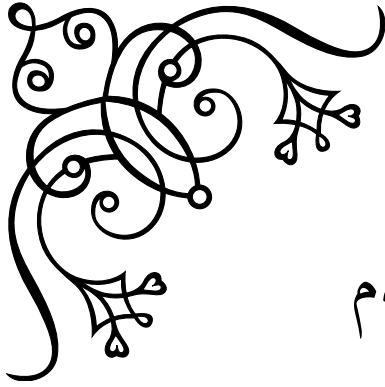
شرح زیر تعیین می شود، بلامانع است:

- بهره برداری از این پایان نامه برای همگان بلامانع است.
- بهره برداری از این پایان نامه با اخذ مجوز از استاد راهنما، بلامانع است.
- بهره برداری از این پایان نامه تا تاریخ ممنوع است.

استاد راهنما: دکتر محمود امین طوسی

تاریخ و امضا:

تقدیم به:



همسر و فرزندم

و

پدر و مادرم



سپاس خداوندگار حکیم را که با لطف بی کران خود، آدمی را زیور عقل آراست. در آغاز وظیفه خود می دانم از زحمات بی دریغ استاد راهنمای خود، جناب آقای دکتر محمود امین طوسی، صمیمانه تشکر و قدردانی کنم که قطعاً بدون راهنمایی های ارزنده ایشان، این مجموعه به انجام نمی رسید. از جناب آقای دکتر مهدی زعفرانی که زحمت مطالعه و مشاوره این رساله را تقبل فرمودند و در آماده سازی این رساله، به نحو احسن اینجانب را مورد راهنمایی قرار دادند، کمال امتنان را دارم. همچنین لازم می دانم از گروه پارسی لاتک در پاسخگویی به مشکلات کاربران کمال قدردانی را داشته باشم. در پایان، بوسه می زنم بر دستان خداوندگاران مهر و مهربانی، پدر و مادر عزیزم و بعد از خدا، ستایش می کنم وجود مقدس شان را و تشکر می کنم از خانواده عزیزم به پاس عاطفه سرشار و گرمای امیدبخش وجودشان، که بهترین پشتیبان من بودند.

زهرا حسن زاده

شهریور ۱۳۹۷

فهرست مطالب

ج	فهرست جداول
د	فهرست تصاویر
۱	چکیده
۲	پیش‌گفتار
۳	فصل ۱: کلیات تحقیق
۳	۱-۱ مقدمه
۴	۲-۱ تعریف مساله
۵	۳-۱ کاربرد مساله مکان‌یابی هاب در دنیای واقعی
۵	۴-۱ انواع مسائل مکان‌یابی هاب از نظر تخصیص دهی
۶	۵-۱ انواع مسائل مکان‌یابی از نظر مکان هاب
۱۴	۶-۱ انواع مسائل مکان‌یابی از نظر محدودیت ظرفیت
۱۴	۷-۱ انواع مسائل مکان‌یابی از نظر تعداد هاب‌ها
۱۶	۸-۱ تاریخچه‌ای از مسئله مکان‌یابی هاب
۱۸	۹-۱ مروری بر مقالات پیشین
۳۰	فصل ۲: مدل ریاضی PHLP
۳۰	۱-۲ مقدمه
۳۱	۲-۲ معرفی متغیرهای مدل برنامه‌ریزی ریاضی
۳۱	۳-۲ مدل برنامه‌ریزی ریاضی PHLP
۳۴	۴-۲ الگوریتم ژنتیک
۳۶	۱-۴-۲ حل مسئله PHLP با الگوریتم ژنتیک
۳۷	۲-۴-۲ تابع برازندگی

۳۷	تولید جمعیت اولیه	۳-۴-۲
۳۷	انتخاب والدین	۴-۴-۲
۳۸	عملگر تقاطع	۵-۴-۲
۴۱	عملگر جهش	۶-۴-۲
۴۲	جایگزینی نسل	۷-۴-۲
۴۲	پارامتر های <i>PHLGA</i>	۸-۴-۲
۴۴	نتایج محاسبات	۵-۲
۴۴	نتایج برای مجموعه داده های شبیه سازی شده	۱-۵-۲
۴۵	مقایسه با جواب بهینه	۱-۱-۵-۲
۴۶	اثر پارامتر وزن	۲-۱-۵-۲
۴۷	اثر پارامتر های هزینه	۳-۱-۵-۲

فصل ۳: یک رویکرد خوشه بندی به مسئله مکان یابی هاب مسطح

۵۱	تاریخچه ای از مسأله خوشه بندی	۱-۳
۵۱	کاربرد خوشه بندی	۱-۱-۳
۵۱	تجزیه و تحلیل خوشه ای	۲-۳
۵۲	مقدمه	۳-۳
۵۳	الگوریتم خوشه بندی برای مدل مکان یابی هاب مسطح	۴-۳
۵۶	روش حل الگوریتم	۵-۳
۵۹	حل یک مسئله	۶-۳
۶۱	تخصیص مجدد	۷-۳
۶۲	روش های تخصیص مجدد	۸-۳
۶۴	نتایج محاسبات	۹-۳

فهرست منابع

۶۸	پیوست آ: کد برنامه های روش خوشه بندی مسئله مکان یابی هاب مسطح
۷۳	واژه نامه فارسی به انگلیسی
۷۵	واژه نامه انگلیسی به فارسی

فهرست جداول

۱-۳ نقاط داده ها و نمونه جواب ۶۰

فهرست تصاویر

۵	مثالی از شبکه مکان یابی هاب تک تخصیصی	۱-۱
۵	نمایی کامل از شبکه هاب تک تخصیصی	۲-۱
۶	نمایی کامل از شبکه هاب چند تخصیصی	۳-۱
۱۵	شبکه کاملاً متصل با ۶ گره و ۳۰ جفت مبدا - مقصد	۴-۱
۱۵	شبکه تک هابی با ۶ گره	۵-۱
۱۶	شبکه چند هابی با ۱۵ گره و ۳ هاب	۶-۱
۱۹	تصویر بردار A بر روی بردار B	۷-۱
۳۹		۱-۲
	مثالی از تقاطع تخصیص ($*$ ژن هایی که به طور تصادفی از والدین انتخاب شده اند را نشان می دهد)	۲-۲
۴۰		
۴۵	مشخصه های نمونه مسئله های شبیه سازی شده	۳-۲
۴۵	جواب PHLP برای نمونه مسئله های شبیه سازی شده	۴-۲
۴۶	زمان اجرا PHLGA برای نمونه مسئله های شبیه سازی شده	۵-۲
۴۷		۶-۲
۴۷		۷-۲
۴۸		۸-۲
۴۸		۹-۲
۶۰	مشاهدات و مراکز خوشه ها	۱-۳
۶۴	نتایج CRAY Y-MP	۲-۳



دانشگاه گیلان

فرم چکیده ی پایان نامه ی دوره ی تحصیلات تکمیلی

مدیریت تحصیلات تکمیلی

نام خانوادگی دانشجو: حسن زاده	نام: زهرا	ش. دانشجویی: ۹۳۱۳۱۳۳۰۳۹
استاد راهنما: دکتر محمود امین طوسی		
استاد مشاور: دکتر مهدی زعفرانیه		
دانشکده ریاضی و علوم کامپیوتر	رشته: ریاضی کاربردی	گرایش: تحقیق در عملیات
مقطع: کارشناسی ارشد	تاریخ دفاع: شهریور ۱۳۹۷	تعداد صفحات: ۷۷
عنوان پایان نامه: حل مسئله مکان یابی هاب مسطح تک تخصیصی بدون ظرفیت با الگوریتم ژنتیک		
کلید واژه ها: الگوریتم ژنتیک، مسئله مکان یابی هاب، مسئله مکان یابی هاب پلانار		
<p>چکیده: مسئله مکان یابی هاب مکان هاب ها و اختصاص اسپوک ها به هاب ها را تعیین می کند به طوری که هزینه حمل و نقل کل به حداقل برسد. در این پایان نامه ما با مساله مکان یابی هاب مسطح تخصیص واحد بدون ظرفیت سروکار داریم. در این مساله، همه جریان بین جفت اسپوک ها از طریق هاب ها عبور می کند، ظرفیت هاب ها نامحدود است و هاب ها می توانند در هر جایی قرار بگیرند و همه هاب ها کاملاً به هم متصل هستند و هر اسپوک تنها به یک هاب اختصاص داده می شود.</p>		

پیش‌گفتار

مسئله‌های مکان‌یابی هاب روی یک شبکه تعریف می‌شوند به طوری که n نقطه به نام اسپوک‌ها و p مرکز حمل و نقل به نام هاب‌ها وجود دارد. شبکه مکان‌یابی هاب برای اولین بار توسط گلدمن در سال ۱۹۶۹ تعریف شده است [۱]. از آنجا که شبکه‌های هاب اسپوک کاربرد‌های عملی در صنایع مختلف دارند، مسئله مکان‌یابی هاب به طور گسترده‌ای توسط محققان مورد مطالعه قرار گرفته است. در مسئله مکان‌یابی هاب اگر هاب‌ها روی نقاط از پیش مشخص شده قرار بگیرند، بعضی از نقاط مبدا و مقصد، این نوع مسئله، مسئله مکان‌یابی گسسته نامیده می‌شود. اما اگر مکان‌ها محدود نباشند و بتوان آن‌ها را در هر جایی از سطح قرار داد این نوع مسئله، مسئله مکان‌یابی هاب مسطح نامیده می‌شود. بسیاری از مقاله‌ها در این زمینه بر روی حل مسئله‌های گسسته تمرکز می‌کنند و تنها چند مقاله برای مسئله‌های پلانار وجود دارد. اکلی مکان‌یابی هاب مسطح را با روش مینی‌برخوشه بندی حل نمود [۱۷] و مثال‌هایی با بالای ۵۰۰ گره و ۹ هاب را حل کرد.

این پایان‌نامه شامل ۳ فصل است: در فصل ۱ تعاریف، مفاهیم مورد نیاز مسئله‌های مکان‌یابی هاب و ویژگی‌های آن مطرح خواهد شد. در فصل ۲ مدل ریاضی مسئله مکان‌یابی هاب را بیان می‌کنیم. در فصل ۳ یک رویکرد خوشه‌بندی به مسئله مکان‌یابی هاب مسطح را بیان می‌کنیم. مطالب این پایان‌نامه برگرفته از مقالات زیر می‌باشد:

1. Haluk Damgacioglu, Derya Dinler, Nur Evin Ozdemirel, Cem Iyigun. A genetic algorithm for the uncapacitated single allocation planar hub location problem. *Computers Operations Research*, 62 (2015) 224-236.
2. O'Kelly ME., clustering approach to the planar hub location problem. *Annals of Operations Research*, 40(1992)339-353.
3. James F., Campbell. Integer programming formulations of discrete hub location problems. *European Journal of Operational Research*, 72 (1994) 387-405.
4. E. Weiszfeld, Frank Plastria. On the point for which the sum of the distances to n given points is minimum. *Ann Oper Res*, 167(2009): 7-41.

فصل ۱

کلیات تحقیق

۱-۱ مقدمه

یکی از مباحث جدیدی که در حوزه ی مسائل مکان یابی مطرح شده است، مساله مکان یابی هاب می باشد. اگر مجموعه ای از n نقطه در حال تعامل در یک شبکه داده شده باشد، مسئله مکان یابی هاب، مکان هاب ها و اختصاص اسپوک ها به هاب ها را طوری تعیین می کند که هزینه حمل و نقل کل به حداقل برسد. در این پایان نامه به مسئله مکان یابی هاب مسطح تک تخصیصی بدون محدودیت ظرفیت ($PHLP$)^۲ پرداخته خواهد شد. انگیزه اصلی مطالعه $PHLP$ به سه دلیل است:

- اول از همه، $PHLP$ یک مسئله چالش برانگیز ریاضی است زیرا تابع هدف مشتق پذیر نیست، که برای بهینه سازی آسان نیست.
- دوماً $PHLP$ در بسیاری از مسئله های دنیای واقعی می تواند مفید باشد، در جایی که مکان ها می توانند در فضای پیوسته گذاشته شوند. مانند: ارتش شهر، سیستم ارسال کالا. برای مثال، یک مرکز حمل یا ارسال کالا در یک شهر تقریباً در هر جایی می تواند قرار گیرد.
- سوماً، $PHLP$ به پارامترهای مسئله (مقدار و هزینه جریان) بسیار حساس تر از $DHLP$ ^۳ است، و جواب های $PHLP$ ممکن است آگاهی ارزشمندی برای انتخاب مکان هاب ها در $DHLP$ فراهم سازد.

^۲uncapacitated single allocation Planar hub location problem ^۳discrete hub location problem

۲-۱ تعریف مساله

تعریف ۱-۲-۱. هاب عبارت است از مراکز جمع آوری و توزیع که به جای ارتباط مستقیم میان دو نقطه، با هدف اتصالات کمتر و غیر مستقیم و کاهش هزینه ها مورد استفاده قرار می گیرد.

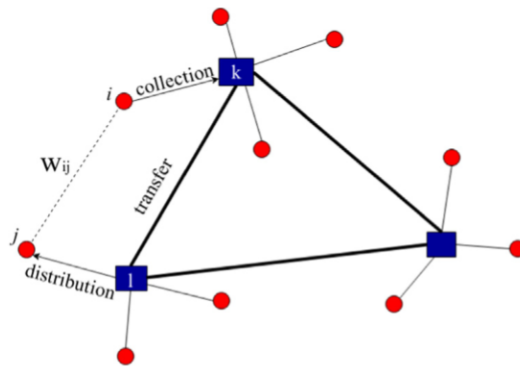
مساله مکان یابی هاب به تعیین مکان هاب ها و تخصیص گره های مبدا و مقصد به هاب ها می پردازد به طوری که مجموع هزینه های مستقر ساختن هاب ها و هزینه های حمل و نقل کمینه شود. مساله های مکان یابی هاب (HLPs) روی یک شبکه تعریف می شوند، به طوری که n نقطه تعامل به نام اسپوک ها و p مرکز حمل و نقل به نام هاب ها وجود دارد. طراحی شبکه در بسیاری از مسائل حمل و نقل و ارتباطات موضوع مهم و اصلی است، زیرا تاثیر زیادی بر روی کارایی و هزینه اقتصادی نهایی سرویس دارد. در مواردی ارتباط مستقیم بین گره های غیر هاب بسیار گران است و بهتر است کالا ها از گره های دیگری که هاب نامیده می شوند حرکت کنند. به همین دلیل به جای استفاده از اتصالات مستقیم مبدا به مقصد، اتصالات غیر مستقیم (اتصالات به هاب) به کار گرفته می شود. هاب ها امکاناتی هستند که به عنوان نقاط تعویض و انتقال در شبکه های حمل و نقل و ارتباطات با تعداد زیادی مبدا و مقصد خدمت می کنند. شبکه های هاب جریان ها را روی اتصال های هاب به هاب متمرکز می کنند و از مقادیر اقتصادی در حمل و نقل میان محور بهره مند می شوند. در یک شبکه مکان یابی هاب سه نوع اتصال وجود دارد که عبارتند از:

- مجموعه اتصال های از اسپوک ها (نقاط مبدا) به هاب ها

- اتصال های انتقال درون هابی بین دو جفت هاب

- اتصال های توزیع از هاب ها به اسپوک ها (نقاط مقصد)

یک نمونه شبکه مکان یابی هاب در شکل ۱-۱ نشان داده شده است که گره های i و j نشان دهنده اسپوک ها و گره های K و L هاب ها هستند. در یک شبکه مکان یابی هاب، عرضه از تعدادی نقاط مبدا در یک هاب جمع می شود، به هاب دیگری منتقل می شود و سپس به نقاط تقاضا توزیع می شود.



شکل ۱-۱: مثالی از شبکه مکان یابی هاب تک تخصیصی

۳-۱ کاربرد مساله مکان یابی هاب در دنیای واقعی

شبکه های هاب اسپوک کاربرد های عملی در صنایع مختلف دارند، به همین دلیل مساله مکان یابی هاب به طور گسترده ای توسط محققان مورد مطالعه قرار گرفته است. شبکه های هاب اسپوک در صنایع مختلف مانند: مسافرت و حمل و نقل هوایی، حمل و نقل زمینی، تحویل محموله های پستی، شبکه های کامپیوتری و مخابراتی استفاده می شود. به عنوان مثال از کامیون بزرگتر بین هاب ها استفاده می شود و همچنین هزینه حمل و نقل کالا در کالاهای دریایی کاهش می یابد. در صنعت خطوط هوایی و شبکه های ارتباط از راه دور استفاده از هاب ها نیاز به همه اتصالاتی که دو به دو بین اسپوک ها را از بین می برد، و به طور قابل ملاحظه ای هزینه ها را کاهش می دهد.

۴-۱ انواع مسائل مکانیابی هاب از نظر تخصیص دهی

۱. تخصیص دهی تکی: در تخصیص دهی تکی، هر اسپوک (مبدا و مقصد) فقط می تواند به یک هاب متصل شود. در این تخصیص دهی امکان اتصال یک مبدا یا مقصد به چندین هاب وجود ندارد (شکل ۲-۱).



شکل ۲-۱: نمایی کامل از شبکه هاب تک تخصیصی

۲. تخصیص دهی چند گانه: در تخصیص دهی چند گانه امکان تخصیص دهی به چندین هاب ممکن است و هر مبدا و مقصد می توانند به چندین هاب جریان بفرستند و یا از آنها جریان دریافت کنند (شکل ۱-۳).



شکل ۱-۳: نمایی کامل از شبکه هاب چند تخصیصی

۵-۱ انواع مسائل مکانیابی از نظر مکان هاب

۱. مسئله مکان یابی گسسته: در این نوع مسئله مکان یابی، هاب ها می توانند روی نقاط از قبل مشخص شده قرار بگیرند، معمولاً بعضی از نقاط مبدا و مقصد. به این نوع مسئله، مسئله مکان یابی گسسته می گویند (DHLP). چهار مساله اساسی در نظریه تحلیل مکان یابی هاب گسسته وجود دارند که عبارتند از:

- مساله p هاب میانه یا PHMP^۱: مساله p هاب میانه برای شبکه های حمل و نقل و مخابراتی کاربردی است که در آن هدف مینیمم کردن هزینه کلی حرکت است. توسعه اخیر شبکه های مسافری و حمل و نقل هوایی مبنی بر هاب تنها یک نمونه از اهمیت این مساله است. در این مساله تمام هاب ها به طور کامل بهم متصل هستند و گره های غیر هاب ممکن است به صورت یگانه یا چند گانه به هاب ها اختصاص داده شوند. در این مساله هاب ها بی ظرفیت هستند و تعداد کل هاب ها (P) از پیش تعیین شده است. متغیرها و پارامترهایی که در این مدل استفاده شده اند عبارتند از:

^۱p-hub median problem

X_{ij}^{km} کسری از جریان که از مکان (مبدا) i به مکان (مقصد) j از طریق هاب هایی که در مکان k و m قرار داده شده اند، فرستاده می شود.
 y_k برابر یک است اگر گره k یک هاب باشد و در غیر اینصورت برابر صفر است.
 w_{ij} مقدار جریان بین گره های i و j .
 C_{ij} هزینه انتقال یک واحد جریان از گره i به گره j .
 Z_{ik} برابر یک است اگر گره i به هاب k تخصیص داده شده باشد و در غیر اینصورت برابر صفر است.

$$c_{ik} + c_{mj} + \alpha c_{km} = C_{ij}^{km}$$

متغیر های تصمیم X_{ij}^{km} و Z_{ik} تخصیص را بیان می کنند و متغیر تصمیم y_k مکان هاب ها را نشان می دهد. معمولاً C_{ij} متناسب با فاصله بین i و j است. C_{ij}^{km} هزینه انتقال هر واحد جریان از مبدا i به مقصد j بوسیله هاب هایی که در مکان k و m قرار داده شده اند. در این قسمت اندیس های i و j به عنوان اندیس های مبدا و k و m به عنوان اندیس های هاب ها استفاده می شود.

مدل ریاضی مسئله مکان یابی p -هاب میانه توسط کمپیل [۲۱] به صورت زیر ارائه شده است:

$$\min \sum_i \sum_j \sum_k \sum_m W_{ij} X_{ij}^{km} C_{ij}^{km}$$

$$s.t. \sum_k Y_k = p \quad (1-1)$$

$$0 \leq Y_k \leq 1 \quad \text{and integer for all } k \quad (2-1)$$

$$0 \leq X_{ij}^{km} \leq 1 \quad \text{for all } i,j,k,m \quad (3-1)$$

$$\sum_k \sum_m X_{ij}^{km} = 1 \quad \text{for all } i,j \quad (4-1)$$

$$X_{ij}^{km} \leq Y_k \quad \text{for all } i,j,k,m \quad (5-1)$$

$$X_{ij}^{km} \leq Y_m \quad \text{for all } i,j,k,m \quad (6-1)$$

تابع هدف در این مسئله مجموع هزینه های حمل و نقل برای همه جفت گره های مبدا - مقصد است که باید مینیمم شود. محدودیت (۱-۱) تعیین می کند که دقیقاً p هاب وجود دارد. محدودیت (۲-۱) نشان می دهد که مقدار Y_k برابر صفر و یا یک است. محدودیت (۳-۱) گستره متغیر X را محدود می کند. محدودیت (۴-۱) اطمینان می دهد که جریان برای هر جفت مبدا و مقصد از طریق برخی جفت هاب ها فرستاده می شود. محدودیت های

(۵-۱) و (۶-۱) اطمینان می دهند که تقاضا از مبدا i به مقصد j نمی توانند به جفت هاب k و m تخصیص یابند مگر اینکه هر دو گره k و m به عنوان هاب در نظر گرفته شوند.

- مساله مکان یابی هاب بدون ظرفیت ^۱: مساله مکان یابی هاب بدون ظرفیت از مساله p هاب میانه متفاوت است به طوری که در آن تعداد هاب ها مشخص نیست و یک هزینه ثابت نامنفی... این مساله مشابه مساله مکان یابی تسهیلات بدون ظرفیت ^۲ است. مسئله مکان یابی هاب بدون ظرفیت به صورت زیر فرمول بندی شده است:

$$\min \sum_i \sum_j \sum_k \sum_m C_{ij}^{km} W_{ij} X_{ij}^{km} + \sum_k F_k Y_k$$

$$s.t. \quad 0 \leq Y_k \leq 1 \quad \text{and integer for all } k \quad (۷-۱)$$

$$0 \leq X_{ij}^{km} \leq 1 \quad \text{for all } i,j,k,m \quad (۸-۱)$$

$$\sum_k \sum_m X_{ij}^{km} = 1 \quad \text{for all } i, j \quad (۹-۱)$$

$$X_{ij}^{km} \leq Y_m \quad \text{for all } i, j, k, m \quad (۱۰-۱)$$

$$X_{ij}^{km} \leq Y_k \quad \text{for all } i,j,k,m \quad (۱۱-۱)$$

که F_k هزینه ثابت مستقر کردن یک تسهیلات در مکان k است. محدودیت ها همانند مسئله P -میانه هستند، جز اینکه تعداد هاب ها داده نشده است. زمانی که ظرفیت هاب ها کران دار شده باشد مسئله مکان یابی هاب ظرفیت دار نتیجه می شود. اگر فرض شود که ظرفیت هاب در مکان k ، Γ_k باشد، با اضافه کردن محدودیت زیر به مدل $UHLP$ آنگاه مدل مکان یابی هاب ظرفیت دار نتیجه می شود.

$$\sum_i \sum_j W_{ij} \left[\sum_m (x_{ij}^{km} + x_{ij}^{mk}) - x_{ij}^{kk} \right] \leq \Gamma_k Y_k \quad \text{for all } k$$

^۱uncapacitated hub location problem

^۲uncapacitated facility location problem

- **مسئله p-هاب مرکزی^۱** : مسئله های مرکزی حداقل سازی حداکثر (*MinMax*) اساساً از مسئله های مکان یابی تسهیلات بدون ظرفیت (*UFLP*) و مکان یابی تسهیلات میانه که حداقل سازی مجموع (*MinSum*) هستند متفاوت است. مسئله های مرکزی از هر دوی این مسائل به دلیل کاربردشان، مانند قرار دادن تسهیلات و وسایل نقلیه اضطراری، و ... اهمیت دارد. مسئله *P* هاب مرکزی مشابه با مسئله *P* مرکزی است. کمپل اولین کسی بود که بحث پیر روی مسئله *p*-هاب مرکز را مطرح کرد و آن را فرموله کرد. او سه نوع مختلف از مسئله *p*-هاب مرکز را مطرح نمود که در ادامه به آن پرداخته شده است. نوع اول هاب مرکزی یک مجموعه از هاب ها هستند که حداکثر هزینه برای هر جفت مبدا به مقصد را به حداقل برسانند. این نوع از هاب مرکز برای یک سیستم هاب که شامل کالاهای فاسد شدنی (مواد غذایی، گل ها، دارویی و مواد شیمیایی و ...) که به زمان حساس هستند استفاده می شود. در این مسائل زمان حکم هزینه را دارد.

در یک مسیر مبدا به مقصد اگر هر یک از اتصال ها به طور مجزا مورد بررسی قرار بگیرند نوع دوم از هاب مرکز بوجود می آید. یک مسیر مبدا به مقصد حداکثر سه اتصال دارد که عبارتند از: مبدا به هاب، هاب به هاب و هاب به مقصد. این نوع از هاب مرکز یک مجموعه از هاب هایی است که ماکزیمم هزینه برای حرکت روی هر اتصال را به حداقل برسانند. این نوع از هاب مرکزی در سیستم های حمل و نقل که هزینه به زمان وابسته است و حداکثر زمان برای هر یک از اتصال ها مهم است، مورد توجه است. به عنوان مثال، مواردی است که بعضی از روش های نگهداری مانند فاسد شدن و یا تازه سازی را نیاز دارند، مانند گرم یا سرد کردن، که تنها در مکان هاب ها در دسترس است. کاربرد دیگر برای رانندگان وسایل نقلیه یا خلبان هاست که محدودیت زمانی را برای خدمات پیوسته دارند، بنابراین طول هر اتصال مهم است. نوع سوم هاب مرکز بدین صورت است که حداکثر هزینه برای جابجایی بین هاب و یک مبدا یا مقصد را به حداقل برسانند.

^۱p-hub center problem

مسئله p -هاب مرکز (نوع اول) به صورت زیر فرمول بندی شده است:

$$\begin{aligned} \min \quad & \max_{i,j,k,m} \left\{ X_{ij}^{km} C_{ij}^{km} \right\} \\ \text{s.t.} \quad & \sum_k Y_k = P \quad (12-1) \\ & 0 \leq Y_k \leq 1 \quad \text{and integer for all } k \quad (13-1) \\ & \sum_k \sum_m X_{ij}^{km} = 1 \quad \text{for all } i,j \quad (14-1) \\ & X_{ij}^{km} \leq Y_k \quad \text{for all } i,j,k,m \quad (15-1) \\ & X_{ij}^{km} \leq Y_m \quad \text{for all } i,j,k,m \quad (16-1) \\ & 0 \leq X_{ij}^{km} \leq 1 \quad \text{and integer for all } i,j,k,m \quad (17-1) \end{aligned}$$

محدودیت ها تقریبا مشابه با محدودیت های مسئله p -هاب میانه هستند. اما از آنجایی که X_{ij}^{km} باید صحیح باشد، محدودیت (۲۳-۱) جایگزین محدودیت (۳-۱) شده است. واضح است اگر $\alpha = 0$ آنگاه نوع سوم از مسئله p -هاب مرکز به وجود نمی آید، زیرا اگر $\alpha = 0$ آنگاه هزینه C_{ij}^{km} برابر مجموع هزینه های از مبدا i به هاب k و از هاب m به مقصد j خواهد بود.

نوع دوم مسئله p -هاب مرکز بدین صورت مدل بندی شده است:

$$\begin{aligned} \min \quad & \max_{i,j,k,m} \left\{ \max(c_{ik}, c_{mj}, \alpha c_{km}) X_{ij}^{km} \right\} \\ \text{s.t.} \quad & \sum_k Y_k = P \quad (18-1) \\ & 0 \leq Y_k \leq 1 \quad \text{and integer for all } k \quad (19-1) \\ & \sum_k \sum_m X_{ij}^{km} = 1 \quad \text{for all } i,j \quad (20-1) \\ & X_{ij}^{km} \leq Y_k \quad \text{for all } i,j,k,m \quad (21-1) \\ & X_{ij}^{km} \leq Y_m \quad \text{for all } i,j,k,m \quad (22-1) \\ & 0 \leq X_{ij}^{km} \leq 1 \quad \text{and integer for all } i,j,k,m \quad (23-1) \end{aligned}$$

محدودیت ها مشابه مسئله نوع اول است. واضح است که اگر $\alpha = 0$ آنگاه نوع دوم مسئله p -هاب مرکز مشابه نوع سوم از مساله خواهد بود.

• مساله پوشش هاب: ^۱ مسئله پوششی یک رابطه معکوس با مسئله مرکزی دارد. همانطور که در قسمت قبلی دیدیم برداشت از یک هاب مرکز چندین تفسیر داشت، برداشت از پوششی هاب هم چندین تفسیر دارد.

در تعریف نوع اول پوشش داریم که جفت مبدا به مقصد (i, j) با هاب های k و m پوشیده شده است اگر هزینه از i به j از طریق k و m از مقداری که معین شده است بیشتر نباشد. یعنی

$$C_{ij}^{km} \leq \gamma_{ij}$$

که γ_{ij} ماکزیمم هزینه داده شده برای جفت مبدا به مقصد (i, j) است. نوع دوم پوشش بدین صورت تعریف می شود که جفت مبدا به مقصد (i, j) توسط هاب های k و m پوشیده شده است اگر هزینه هر اتصال در مسیر از i به j از طریق k و m از مقداری که معین شده است بیشتر نباشد. یعنی

$$\max\{C_{ik}, C_{mj}, \alpha C_{km}\} \leq \gamma_{ij}$$

نوع سوم از پوشش بدین صورت تعریف می شود که جفت مبدا به مقصد (i, j) توسط هاب های k و m پوشیده شده است اگر برای هر یک از اتصال های هاب به مقصد و مبدا به هاب رابطه های زیر برقرار باشد.

$$C_{ik} \leq \gamma_i \quad \text{and} \quad C_{mj} \leq \gamma_j$$

این سه نوع از پوشش مشابه با سه نوع از هاب مرکزی است که در قسمت قبلی توضیح داده شد.

برای فرمول بندی مسئله پوشش هاب، متغیر V_{ij}^{km} بدین صورت تعریف شده است که اگر هاب k و m جفت مبدا و مقصد (i, j) را بپوشاند، مقدار آن برابر یک است و در غیر اینصورت برابر صفر است. که این مفهوم پوشش بستگی به مسئله دارد.

^۱hub covering problem

هدف مسئله پوشش هاب، قرار دادن هاب ها برای پوشش همه تقاضا ها است بطوری که هزینه برای هاب ها مینیمم باشد. این مسئله بدین صورت مدل بندی شده است:

$$\min \quad \sum_k F_k Y_k \quad (24-1)$$

$$s.t. \quad 0 \leq Y_k \leq 1 \quad \text{and integer for all } k \quad (25-1)$$

$$X_{ij}^{km} \leq Y_k \quad \text{for all } i,j,k,m \quad (26-1)$$

$$X_{ij}^{km} \leq Y_m \quad \text{for all } i,j,k,m \quad (27-1)$$

$$\sum_k \sum_m V_{ij}^{km} X_{ij}^{km} \geq 1 \quad \text{for all } i,j \quad (28-1)$$

که F_k هزینه ثابت برای مستقر کردن یک هاب در مکان k است. اگر همه F_k برابر باشند سپس هدف برابر با مینیمم کردن تعداد هاب ها است. برای F_k نا منفی، همه X_{ij}^{km} برابر صفر یا یک هستند.

اگر هزینه پوشش همه جفت های مبدا به مقصد بیش تر از مقداری که معین شده است، باشد برای مثال بیشتر از درآمدی که در دسترس است آنگاه یا تعدادی از جفت های مبدا به مقصد باید غیر پوشش قرار داده شوند یا مقادیر ماکزیمم هزینه که معین شده بود را نباید در نظر گرفت. اگر همه جفت های مبدا به مقصد نتوانند پوشیده شوند یک روش این است که یک جریمه نامنفی برای جفتی که پوشیده نشده است را در نظر گرفت. این مسئله بدین صورت مدل بندی شده است:

$$\min \quad \sum_k F_k Y_k + \sum_i \sum_j p_{ij} u_{ij} \quad (29-1)$$

$$s.t. \quad 0 \leq Y_k \leq 1 \quad \text{and integer for all } k \quad (30-1)$$

$$X_{ij}^{km} \leq Y_k \quad \text{for all } i,j,k,m \quad (31-1)$$

$$X_{ij}^{km} \leq Y_m \quad \text{for all } i,j,k,m \quad (32-1)$$

$$\sum_k \sum_m V_{ij}^{km} X_{ij}^{km} + u_{ij} \geq 1 \quad \text{for all } i,j \quad (33-1)$$

که در این مدل p_{ij} جریمه جفت مبدا به مقصدی است که پوشش داده نشده اند. همچنین u_{ij} در صورتی که جفت مبدا به مقصد پوشش داده نشده باشند برابر یک است و در غیر اینصورت برابر صفر است.

اگر جواب مجموعه پوشش بیشتر از درآمد در دسترس بود، روش دیگر این است که مسئله هاب ماکزیم پوشش را حل کرد. یعنی ماکزیم تقاضاهای پوشیده شده توسط تعداد تسهیلات هاب داده شده است.

مدل مسئله هاب حداکثر پوشش به صورت زیر است:

$$\max \sum_i \sum_j \sum_k \sum_m W_{ij} X_{ij}^{km} V_{ij}^{km} \quad (34-1)$$

$$s.t. \sum_k Y_k = P \quad (35-1)$$

$$0 \leq Y_k \leq 1 \quad \text{and integer for all } k \quad (36-1)$$

$$0 \leq X_{ij}^{km} \leq 1 \quad \text{for all } i,j,k,m \quad (37-1)$$

$$\sum_k \sum_m X_{ij}^{km} = 1 \quad \text{for all } i,j \quad (38-1)$$

$$X_{ij}^{km} \leq Y_k \quad \text{for all } i,j,k,m \quad (39-1)$$

$$X_{ij}^{km} \leq Y_m \quad \text{for all } i,j,k,m \quad (40-1)$$

این محدودیت ها مشابه محدودیت های مسئله p -هاب میانه هستند و در حقیقت مسئله پوششی ماکزیم هاب یک مسئله p -هاب میانه دیگر است.

۲. مسئله مکان یابی هاب مسطح: در این نوع مسئله مکان یابی، مکان هاب ها محدود نیست و آن ها را در هر جایی از سطح می توان قرار داد. به این نوع مسئله، مسئله مکان یابی هاب پلانار می گویند (PHLP). در این مقاله به یکی از مدل های مسئله مکان یابی هاب مسطح می پردازیم.

۱-۶ انواع مسائل مکان یابی از نظر محدودیت ظرفیت

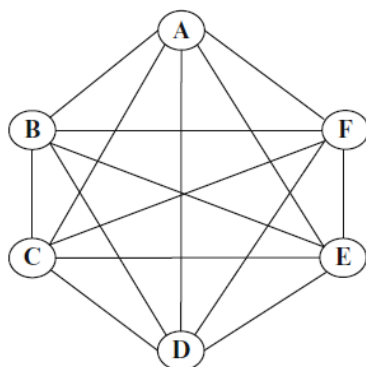
محدودیت ظرفیت را می توان برای میزان جریان ورودی به هاب یا میزان جریانی که هر گره مجاز به فرستادن یا دریافت آن می باشد، در نظر گرفت. ظرفیت هر هاب، یک کران بالا برای جریان ورودی به هاب می باشد. با توجه به اینکه جریان انتقالی در هر مسیر مبدا به مقصد شامل سه مولفه است: جریان رسیده از مبدا به اولین هاب (اجتماع)^۱، انتقال جریان بین هاب اول و دیگر هاب ها (انتقال)^۲ و توزیع جریان از آخرین هاب به مقصد (توزیع)^۳. بنابراین ظرفیت هر مسیر می تواند متفاوت از بقیه مسیر ها باشد. همچنین برای کاهش هزینه ها و تفاوت در نحوه توزیع جریان برای اجتماع، انتقال و توزیع جریان ضرایب کاهش بین صفر و یک را در نظر میگیریم. هزینه های کاهش اجتماع، انتقال و توزیع را به ترتیب با $\alpha_c, \alpha_t, \alpha_d$ نمایش می دهیم. بیشتر مسائل مکانیابی هاب، ظرفیتی برای جریان ورودی به هاب یا خروجی از هاب و یا جریان بین دو هاب دارند.

۱-۷ انواع مسائل مکان یابی از نظر تعداد هاب ها

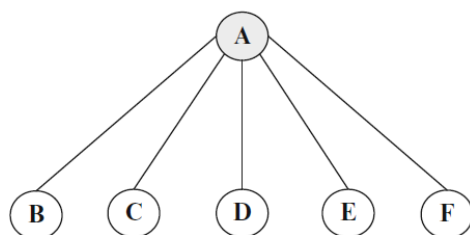
تعریف ۱-۷-۱. شبکه ای که تمام گره های آن به یکدیگر متصل باشند، شبکه کامل^۴ نامیده می شود. فرض کنید n گره داریم به طوری که هر یک از این گره ها بتواند به عنوان مبدا و مقصد در نظر گرفته شود. در این صورت شبکه ای کامل با $n(n-1)$ جفت مبدا و مقصد داریم، به طوری که جفت مبدا و مقصد (i, j) با (j, i) متفاوت است. انواع مسائل مکان یابی از نظر تعداد هاب عبارتند از:

۱. **مسئله مکان یابی تک هابی:** برای پاسخگویی به تقاضا، مسئله مکان یابی هاب حرکت افراد، کالاها یا اطلاعات بین جفت مبدا و مقصد های خواسته شده را شامل می شود. هاب ها برای کاهش تعداد اتصال های انتقال بین گره های مبدا و مقصد کاربرد دارند. برای مثال، یک شبکه کاملاً متصل با k گره و هیچ هابی، $k(k-1)$ اتصال مبدا و مقصد دارد. در شکل ۱-۴ نمونه ای از یک شبکه کاملاً متصل با ۶ گره و ۳۰ جفت مبدا و مقصد نشان داده شده است. حال اگر یکی از گره های شبکه را هاب در نظر بگیریم و آن را به گره های دیگر که غیر هاب^۵ (یا اسپوک) نامیده می شوند وصل کنیم، در این صورت تنها $(k-1)$ اتصال مبدا و مقصد وجود خواهد داشت. که این شبکه در شکل ۱-۵ نشان داده شده است.

^۱Collection ^۲Transfer ^۳Distribution ^۴fully connected network ^۵spoke



شکل ۱-۴: شبکه کاملاً متصل با ۶ گره و ۳۰ جفت مبدا - مقصد

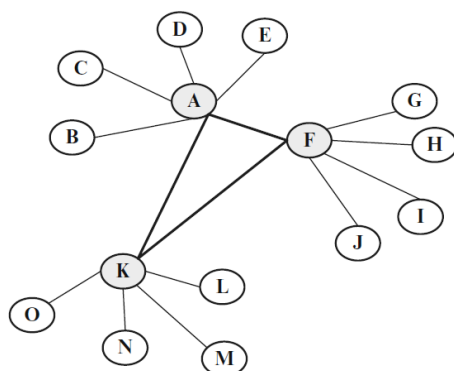


شکل ۱-۵: شبکه تک هابی با ۶ گره

در چنین سیستمی برای رفتن از هر گره غیرهاب به گره غیرهاب دیگر باید از گره هاب عبور کرد. که منجر به ایجاد بیش از یک گردش برای طی هر جفت مبدا و مقصد خواهد شد. در این شبکه اگر خدمات وسایل نقلیه وجود داشته باشد و هر وسیله نقلیه بتواند روزانه ۵ جفت مبدا و مقصد را سرویس دهی کند، در این صورت با ۱۸ وسیله نقلیه می توان روزانه ۹۰ جفت را سرویس دهی کرد. بنابراین، با توجه به معادله $k(k-1)$ قادر به سرویس ۱۰ گره در هر روز خواهیم بود. این در حالی است که با همین تعداد وسیله در شبکه تک هابی با توجه به معادله $2(k-1)$ می توان روزانه ۴۶ گره را سرویس دهی کرد. در نتیجه با وسایل نقلیه ثابت، تعداد شهرهای بیشتری در شبکه هاب نسبت به شبکه کامل سرویس دهی می شوند. اشکال اصلی چنین سیستمی که به همه گره ها به جز گره هاب مربوط می شود این است که برای گردش بین یک جفت مبدا و مقصد، بیش از یک گردش لازم است زیرا برای گردش از یک گره غیر هاب به دیگری باید از یک گره هاب عبور کنیم.

۲. مسئله مکان یابی چند هابی: در شبکه های چند هابی، فرض بر این است که گره های هاب کاملاً به یکدیگر متصل شده اند و هر گره غیرهاب یا دقیقاً با یک گره هاب در ارتباط است که معرف شبکه تک تخصیصی است و یا حداقل با یک گره هاب در ارتباط است که در این صورت معرف شبکه چند تخصیصی خواهد بود. در شکل ۱-۶ شبکه ای با ۱۵ شهر و ۳ هاب داده شده است.

معمولاً تعداد مسافران یا کالاهایی که از یک گره هاب به گره هاب دیگر حمل می شوند بیشتر از تعداد مسافران یا کالاهایی است که از هر گره غیرهاب به گره هاب موردنظر نقل مکان می کنند. برای مثال،



شکل ۱-۶: شبکه چند هابی با ۱۵ گره و ۳ هاب

اگر جریان بین هر جفت مبدأ و مقصد ۱۰ واحد باشد آنگاه ۱۴۰ واحد جریان بین هر گره غیرهاب و گره هابی که به آن متصل است وجود خواهد داشت اما ترافیک بین دو گره هاب ۲۵۰ واحد خواهد بود.

در شبکه‌های رابط، مانند شبکه راه یا شبکه کامپیوتری، ایجاد مسیرهای مستقیم بین هر جفت گره کار معقولی نیست. برای حل این مشکل از گره‌های هاب استفاده می‌شود. تأسیس مسیریابی با کیفیت بالا بین هاب‌ها باعث کسب منافع اقتصادی خواهد شد که یکی از مزیت‌های استفاده از هاب‌هاست. در شبکه‌های راه‌آهن زمانی که بین دو گره تعداد زیادی راه ارتباطی وجود داشته باشد، ایجاد یک بزرگراه با چندین جاده بین این دو گره کاری اقتصادی است و منجر به حرکت سریع‌تر وسایل نقلیه و اتلاف کمتر سوخت می‌شود و بنابراین در زمان و هزینه صرفه‌جویی می‌گردد. در شبکه‌های کامپیوتری، کابل‌های فیبرنوری فقط برای اتصال هاب‌ها استفاده می‌شوند و به کار بردن آنها برای اتصال هر دو گره کاری اقتصادی نیست.

۸-۱ تاریخچه ای از مسئله مکان یابی هاب

بسیاری از مطالعات در زمینه مسئله مکان یابی هاب بر روی حل مسئله‌های مکان یابی گسسته تمرکز دارند. DHLP به عنوان NP-Hard شناخته شده است [۱]. بنابراین پژوهشگران روش‌های ابتکاری برای پیدا کردن یک راه حل خوب در مدت زمان معقول را ارائه داده‌اند. DHLP ابتدا توسط اکلی^۱ مورد مطالعه قرار گرفت [۲]. او یک مدل برنامه ریزی عدد صحیح درجه دوم برای مکان یابی تسهیلات هاب را ارائه داد و دو روش ابتکاری برای حل آن ارائه کرد و نتایج محاسباتی این دو روش ابتکاری ساده را برای نمونه‌هایی که در آن ۲، ۳ یا ۴ هاب برای تعامل بین مجموعه‌هایی از ۱۰،

^۱O'Kelly

۱۵، ۲۰ و ۲۵ شهر قرار داده شده است را ارائه کرد. همچنین مدل برنامه ریزی خطی عدد صحیح دیگر برای مسئله مکان یابی هاب گسسته توسط کمپبل^۱ [۳]، برایان^۲ (۱۹۹۸)، ارنست^۳ و کریش ناموردی^۴ [۴] [۵] و اکلی و همکارانش [۶] ارائه شده است که ارنست و کریش ناموردی شبیه سازی تبریدی را برای حل این مساله ارائه کردند و در مطالعه دیگری الگوریتم شاخه و کران بر پایه مساله کوتاه ترین مسیر را برای حل مسئله بکار بردند. کلین وژ^۵ ابتدا یک فرآیند جستجوی را در سال ۱۹۹۱ [۷]، و سپس یک فرآیند جستجوی Tabu search و GRASP را ارائه داد [۸]. جواب های بدست آمده بوسیله این فرآیند های جستجو با یک تغییر کم از جواب های مسئله تخصیص چندگانه بدست می آیند. آبدینور هلم^۶ [۹] نیز شبیه سازی تبریدی را برای حل مساله پیشنهاد کردند. تاپکوگلو و همکارانش^۷ [۱۰] و کراتیکا و همکارانش^۸ [۱۱] این مسئله را با الگوریتم ژنتیک حل کردند. ایللیک و همکارانش^۹ [۱۲] یک متغیر محلی جستجوی ابتکاری برای حل مساله پیشنهاد کردند که مثال هایی تا ۱۰۰۰ گره را در مدت زمان معقول حل می کرد.

نسخه پلانار از مسئله مکان یابی هاب نسبت به نسخه گسسته کمتر مورد توجه بوده است بنابراین در این زمینه مطالعات کمتری صورت گرفته است. این مسئله ابتدا توسط اکلی مطرح شد [۱۳] پس از آن مسئله توسط آیکین^{۱۰} [۱۴، ۱۵] و آیکین و براون^{۱۱} [۱۶] مورد مطالعه قرار گرفت که آنها یک مدل مکان یابی-تخصیص اصلاح شده برای حل مساله مکان یابی تسهیلات ایجاد کردند که در آن تسهیلات جدید با یکدیگر در حال تعامل اند. اکلی یک روش خوشه بندی برای حل مسئله مکان یابی هاب مسطح را ارائه داد [۱۷]. او مثال هایی با حداکثر ۵۰۰ گره و ۹ هاب را حل کرد. اگرچه روش های محاسباتی متعددی برای مساله مکان یابی هاب گسسته مورد مطالعه قرار گرفته است اما مطالعه و توسعه محاسبات در حالت مسطح محدود است.

آلو و کارا^{۱۲} [۱]، و کمپل و اکلی [۱۸] بررسی مفصلی روی مقاله های HLP انجام دادند. مقاله ای توسط روزینگ و ریول^{۱۳} چاپ شده است که مجموعه ای از فرمولاسیون های یک مسئله را که در آن جریان در داخل خوشه حداکثر می شود. مسئله آنان به لحاظ مفهومی شبیه به آنچه که در این مقاله است، می باشد ولی با ساده سازی بیشتر که تعاملات بین خوشه ای در نظر گرفته نمی شود. مقاله دیگری با هدف مشابه توسط کلین و آروسون^{۱۴} چاپ شده است که یک مدل برنامه نویسی را برای تعامل گروهی کامل فرمول بندی کرده است.

^۱Campbell ^۲Bryan ^۳Ernst ^۴krishnamoorthy ^۵Klincewicz ^۶Abdinnour-Helm

^۷Topcuoglu et al. ^۸Kratika et al. ^۹Ilic et al. ^{۱۰}Aykin ^{۱۱}Aykin and Brown

^{۱۲}Alev and Kara ^{۱۳}K. Rosing and C. ReVelle ^{۱۴}G. Klein and J.E. Aronson

۹-۱ مروری بر مقالات پیشین

در این بخش به بررسی یکی از مقاله های مشهور ویز فلد^۱ با عنوان "نقطه ای که مجموع فواصل آن تا n نقطه داده شده مینیمم باشد"^۲ می پردازیم. این مقاله در اصل به زبان فرانسوی نوشته شده است. فرانک پلاستریا^۳ آن را به زبان انگلیسی ترجمه کرد. اکثرا به ویژه در تئوری مکان یابی، آن را ذکر می کنند همانطور که فرض شده است در اوایل سال ۱۹۳۷ یک الگوریتم تکراری همگرا برای حل مسئله مکان یابی تسهیلات تک تخصیصی بر پایه حداقل سازی مجموع با فواصل اقلیدسی در آن شرح داده شده است.

ویزفلد در مقاله خود یک مسئله مکان یابی را مطالعه نمی کرد. او مانند هر ریاضیدان ناب، علاقه مند به اثبات قضیه بود. در سن شانزده سالگی او به این سوال که نقطه ای که مجموع فاصله ها در آن تا n نقطه داده شده مینیمم بود، صرفا نگاه هندسی داشت.

ویزفلد در فضای d بعدی کار نکرد. همه مقالات تنها سطح دوبعدی و فضای سه بعدی را مورد بحث قرار می دهند. به ویژه اثبات های دوم و سوم با علم هندسه تطبیق داده شده اند و این دو مورد در مقاله به صورت مجزا بحث شده است.

ویزفلد نمی دانست که ممکن است روش او رد شود. یک خطای واقعی در مقاله او وجود دارد، همانطور که در بخش پایانی در اثبات اضافه شده است

ویزفلد یک الگوریتم ابداع نکرد. یکی از روش های ویزفلد برای آزمودن شرایط بهینگی از طریق ساخت یک دنباله همگرا به نقطه بهینه بود. به هر حال با ابزار در دسترس در آن زمان این واقعا یک روش تجربی نبوده است. این وضعیت کاملا با پیدایش ماشین های با محاسبات قوی تغییر نکرد. نیاز و نتیجه جستجو برای الگوریتم ها تنها زمانی شروع شد که این ماشین ها به خوبی در ۱۹۶۰s برنامه پذیر بودند.

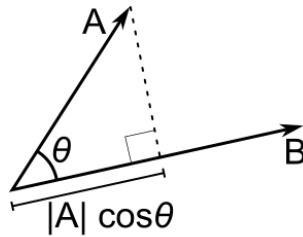
در ابتدا چند تعریف که در فهم اثبات استفاده شده است را آورده ایم.

تعریف ۱-۹-۱. اگر A و B دو بردار باشند، تصویر^۴ بردار A بر روی B بردار است مانند C و در جهت بردار B که طول آن برابر است با:

$$|C| = |A| \cos \theta$$

^۱Weiszfeld ^۲on the point for which the sum of the distances to n given points is minimum

^۳Frank Plastria ^۴image



شکل ۱-۷: تصویر بردار A بر روی بردار B

در رابطه اصلی $|B|$ را ضرب و تقسیم می کنیم:

$$|C| = \frac{|A||B| \cos \theta}{|B|}$$

حال با توجه به رابطه ضرب داخلی A در B یعنی $A \cdot B = |A||B| \cos \theta$

$$|C| = \frac{A \cdot B}{|B|}$$

در حال حاضر C بدون زاویه و جهت مشخص است پس آن را در بردار واحد B ضرب می کنیم. چرا که باید C در جهت و زاویه B باشد و در نهایت با انجام محاسبات به فرمول نهایی زیر می رسیم:

$$C = \frac{A \cdot B}{|B|} \hat{B} = \frac{A \cdot B}{|B|} \frac{B}{|B|} = \frac{A \cdot B}{|B|^2} B$$

تعریف ۱-۹-۲. در هندسه، به پاره خطی که از یک راس مثلث به وسط ضلع روبرو کشیده می شود، میانه^۱ می گویند. یکی از خواص میانه این است که، میانه وارد بر هر ضلع از نصف مجموع دو ضلع دیگر کوچکتر است و از نصف تفاضل آن دو ضلع بزرگ تر است.

تعریف ۱-۹-۳. در هندسه، به نقطه وسط یک خط، نقطه میانی^۲ می گویند. این نقطه از هر دو نقطه انتهایی خط متساوی الفاصله است، و این نقطه مرکز خط و دو نقطه انتهایی خط است. این نقطه خط را به دو بخش مساوی تقسیم می کند.

تعریف ۱-۹-۴. دنباله تابعی است که دامنه اش مجموعه اعداد طبیعی و برد آن زیر مجموعه ای از اعداد حقیقی می باشد $(a : \mathbb{N} \rightarrow \mathbb{R})$.

تعریف ۱-۹-۵. می گوئیم یک دنباله کراندار است هرگاه تمام جملات آن از یک عدد ثابت مانند M ، کوچکتر و از یک عدد ثابت مانند m ، بزرگتر باشند، یعنی $m < a_n < M$. عدد M را کران بالایی دنباله و عدد m را کران پائینی دنباله می گویند.

^۱median ^۲midpoint

تعریف ۱-۹-۶. دنباله ای که همواره صعودی یا همواره نزولی باشد، یکنوا نامیده می شود.

قضیه ۱. هر دنباله یکنوا و کراندار، همگراست.

قضیه ۲. حد هر دنباله همگرا منحصر به فرد است.

در این قسمت اثبات قضیه مینیمم نقطه^۱ با استفاده از قضایای دیگر بیان شده است.

قضیه ۱. فرض کنید n نقطه مجزا A_1, A_2, \dots, A_n در فضا داده شده است که روی خط مستقیم قرار نگرفته اند. سپس یک نقطه واحد وجود دارد که مجموع فاصله آن از این n نقطه مینیمم است. برای این نقطه M نامساوی زیر را داریم:

$$\sum_{i=1}^n \|A_i - X\| > \sum_{i=1}^n \|A_i - M\|$$

که برای هر نقطه X مجزا از M برقرار است. (که البته حداکثر یک نقطه از این نوع می تواند وجود داشته باشد.) این نقطه، مینیمم نقطه نامیده می شود.

(آ) اگر یک نقطه واحد مجزا از A_1, A_2, \dots, A_n در فضا وجود داشته باشد، که برای آن رابطه زیر برقرار باشد

$$\sum_{i=1}^n \frac{A_i - M}{\|A_i - M\|} = 0 \quad (M_1)$$

این نقطه، مینیمم نقطه خواهد بود.

(ب) اگر یک نقطه واحد A_k ، در میان A_1, A_2, \dots, A_n وجود داشته باشد به طوری که

$$\left\| \sum_{i=1}^n \frac{A_i - A_k}{\|A_i - A_k\|} \right\| \leq 1 \quad (M_2)$$

(علامت \sum' نشان می دهد که عبارت K ام از مجموع حذف شده است)، سپس نقطه A_k مینیمم نقطه خواهد بود.

قضیه مینیمم نقطه به کمک قضایای دیگر اثبات شده است. در این اثبات یک دنباله نامتناهی از نقاط ایجاد شده است که به مینیمم نقطه همگراست و قضیه از ویژگی های دنباله نقاط نتیجه گرفته شده است.

^۱minimum-point theorem

قضیه ۱. فرض کنید n نقطه مجزا A_1, A_2, \dots, A_n در فضا داده شده است که روی خط مستقیم قرار نگرفته اند. نقطه تصادفی P_1 مجزا از نقاط A را در نظر می گیریم. در این نقاط A_1, A_2, \dots, A_n جرم های نسبی زیر را قرار می دهیم

$$\frac{1}{\|A_1 - P_1\|}, \frac{1}{\|A_2 - P_1\|}, \dots, \frac{1}{\|A_n - P_1\|}$$

مرکز ثقل این جرم ها را با P_2 نشان می دهیم. و نقطه P_2 را تصویر نقطه P_1 می نامیم. سپس در نقاط A_1, A_2, \dots, A_n جرم های نسبی زیر را قرار می دهیم

$$\frac{1}{\|A_1 - P_2\|}, \frac{1}{\|A_2 - P_2\|}, \dots, \frac{1}{\|A_n - P_2\|}$$

و فرض کنید P_3 مرکز ثقل این جرم ها باشد (یعنی P_3 تصویر P_2 است). این روش را ادامه می دهیم، یک دنباله نامتناهی از نقاط

$$P_1, P_2, P_3, \dots$$

بدست می آوریم. این دنباله (P) همگراست، و نقطه همگرایی آن مینیمم نقطه نقاط A_1, A_2, \dots, A_n است که مستقل از مکان P_1 است.

قضایای کمکی

قضیه ۱. فرض می کنیم m نقطه متفاوت B_1, B_2, \dots, B_m و یک خط ℓ داده شده است به طوری که از تمام نقاط B عبور نمی کند، و روی آن یک نقطه مجزا X است. فرض می کنیم که در حالت کلی طول تصویر بردار a روی این خط با علامت $[a]_\ell$ مشخص شده است. سپس تصویر

$$\left[\sum_{i=1}^m \frac{B_i - X}{\|B_i - X\|} \right]_\ell$$

یک تابع کاهشی یکنواخت از X است.

برهان. فرض کنید X_1 و X_2 دو نقطه مجزا از خط ℓ باشند به طوری که بردار $X_1 X_2$ در جهت ℓ

جهت دار شده است. باید نشان داده شود که

$$\left[\sum_{i=1}^m \frac{B_i - X_1}{\|B_i - X_1\|} \right]_{\ell} > \left[\sum_{i=1}^m \frac{B_i - X_2}{\|B_i - X_2\|} \right]_{\ell}$$

بدیهی است که

$$\left[\frac{B_i - X_1}{\|B_i - X_1\|} \right]_{\ell} \geq \left[\frac{B_i - X_2}{\|B_i - X_2\|} \right]_{\ell} \quad (i = 1, 2, \dots, m)$$

در صورتی که B_i روی خط ℓ قرار نداشته باشد، قطعاً علامت $>$ را خواهیم داشت، زیرا طول بردار های $\frac{B_i - X_2}{\|B_i - X_2\|}$ و $\frac{B_i - X_1}{\|B_i - X_1\|}$ برابر ۱ است و زمانی که B_i روی خط ℓ نباشد، بردار اول نسبت به بردار دوم زاویه کوچکتری با خط ℓ می سازد. بنابراین با جمع این نامساوی داریم: (می دانیم که نقاط B_i روی خط ℓ قرار ندارند)

$$\sum_{i=1}^m \left[\frac{B_i - X_1}{\|B_i - X_1\|} \right]_{\ell} > \sum_{i=1}^m \left[\frac{B_i - X_2}{\|B_i - X_2\|} \right]_{\ell}$$

این برابر است با

$$\left[\sum_{i=1}^m \frac{B_i - X_1}{\|B_i - X_1\|} \right]_{\ell} > \left[\sum_{i=1}^m \frac{B_i - X_2}{\|B_i - X_2\|} \right]_{\ell}$$

□

که این همان نامساوی خواسته شده است.

قضیه ۲. حداکثر یک نقطه در فضا می تواند وجود داشته باشد که در رابطه (M_1) صدق کند.

برهان. (برهان خلف) فرض می کنیم که چندین نقطه ممکن است وجود داشته باشد که در رابطه (M_1) صدق کنند. دو نقطه این چنینی را انتخاب می کنیم. بر اساس فرض، برای این نقاط داریم

$$\sum_{i=1}^n \frac{A_i - M_1}{\|A_i - M_1\|} = \sum_{i=1}^n \frac{A_i - M_2}{\|A_i - M_2\|} = \circ$$

و

$$\left[\sum_{i=1}^n \frac{A_i - M_1}{\|A_i - M_1\|} \right]_{\ell} = \left[\sum_{i=1}^n \frac{A_i - M_2}{\|A_i - M_2\|} \right]_{\ell} \quad (= \circ)$$

نقاط M_1 و M_2 را با یک خط که از M_1 به طرف M_2 جهت دار شده است، وصل می کنیم، و نقاط A_1, A_2, \dots, A_n را به جای نقاط B که در قضیه؟؟؟؟ بیان شده است، قرار می دهیم. (از آنجایی که نقاط A روی خط مستقیم قرار نگرفته اند، این انتخاب مجاز است) سپس برطبق قضیه؟؟؟؟

داریم

$$\sum_{i=1}^n \frac{A_i - M_1}{\|A_i - M_1\|} > \sum_{i=1}^n \frac{A_i - M_2}{\|A_i - M_2\|}$$

که با فرض ما در تناقض است.

□

قضیه ۳. اگر یک نقطه M در فضا وجود داشته باشد که در رابطه (M_1) صدق کند، آنگاه هیچ کدام از نقاط A در رابطه (M_2) صدق نمی کنند.

برهان. کافی است نشان دهیم که اگر

$$\sum_{i=1}^n \frac{A_i - M}{\|A_i - M\|} = 0 \quad (41-1)$$

آنگاه خواهیم داشت

$$\left\| \sum_{i=2}^n \frac{A_i - A_1}{\|A_i - A_1\|} \right\| > 1 \quad (42-1)$$

نقاط A_1 و M را با خط ℓ که از A_1 به طرف M جهت دار شده است، وصل می کنیم. فرض کنید X یک نقطه متغیر از خط ℓ باشد، و نقاط A_2, A_3, \dots, A_n به عنوان نقاط B انتخاب شده باشند که قطعاً روی خط ℓ قرار نمی گیرند. سپس تابع

$$\left[\sum_{i=2}^n \frac{A_i - X}{\|A_i - X\|} \right]_{\ell} = 0$$

طبق قضیه ؟؟؟؟ به طور یکنواخت کاهشی است، بنابراین

$$\left[\sum_{i=2}^n \frac{A_i - A_1}{\|A_i - A_1\|} \right]_{\ell} > \left[\sum_{i=2}^n \frac{A_i - M}{\|A_i - M\|} \right]_{\ell} \quad (43-1)$$

اما، با توجه به این که

$$\frac{A_1 - M}{\|A_1 - M\|} = \left[\frac{A_1 - M}{\|A_1 - M\|} \right]_{\ell} = -1$$

و رابطه (M_1) ، داریم

$$\sum_{i=2}^n \frac{A_i - M}{\|A_i - M\|} = \left[\sum_{i=2}^n \frac{A_i - M}{\|A_i - M\|} \right]_{\ell} = 1 \quad (44-1)$$

با یک نتیجه گیری از 43-1 و 44-1 داریم

$$\left[\sum_{i=2}^n \frac{A_i - A_1}{\|A_i - A_1\|} \right]_{\ell} > 1$$

که از روی این نابرابری خواسته شده استنباط می شود.

□

قضیه 4. حداکثر یکی از نقاط A ممکن است در رابطه (M_2) صدق کنند.

برهان. برای اثبات کافی است نشان دهیم که به عنوان مثال اگر داشته باشیم

$$\left\| \sum_{i=2}^n \frac{A_i - A_1}{\|A_i - A_1\|} \right\| \leq 1 \quad (45-1)$$

سپس

$$\left\| \sum_{i=1}^n \frac{A_i - A_2}{\|A_i - A_2\|} \right\| > 1 \quad (46-1)$$

نقاط A_1 و A_2 با یک خط ℓ که از A_1 به سمت A_2 جهت دار شده است، وصل شده اند، و نقاط A_3, A_4, \dots, A_n را به عنوان نقاط B که روی خط ℓ قرار نگرفته اند، در نظر می گیریم. سپس تصویر

$$\left[\sum_{i=3}^n \frac{A_i - X}{\|A_i - X\|} \right]_{\ell}$$

طبق قضیه ؟؟؟؟ به طور یکنواخت کاهش می یابد، و بنابراین

$$\left[\sum_{i=3}^n \frac{A_i - A_1}{\|A_i - A_1\|} \right]_{\ell} > \left[\sum_{i=3}^n \frac{A_i - A_2}{\|A_i - A_2\|} \right]_{\ell} \quad (47-1)$$

از 45-1 داریم

$$\left[\sum_{i=2}^n \frac{A_i - A_1}{\|A_i - A_1\|} \right]_{\ell} \leq 1$$

و با توجه به اینکه

$$\left[\sum_{i=2}^n \frac{A_i - A_1}{\|A_i - A_1\|} \right]_{\ell} = \left[\frac{A_2 - A_1}{\|A_2 - A_1\|} \right]_{\ell} + \left[\sum_{i=3}^n \frac{A_i - A_1}{\|A_i - A_1\|} \right]_{\ell} = 1 + \left[\sum_{i=3}^n \frac{A_i - A_1}{\|A_i - A_1\|} \right]_{\ell}$$

نامساوی زیر بدست می آید

$$\left[\sum_{i=3}^n \frac{A_i - A_1}{\|A_i - A_1\|} \right]_{\ell} \leq 0$$

در نتیجه از ۴۷-۱ داریم

$$\left[\sum_{i=3}^n \frac{A_i - A_2}{\|A_i - A_2\|} \right]_{\ell} < 0 \quad (48-1)$$

اما

$$\left[\sum_{i=1}^n \frac{A_i - A_2}{\|A_i - A_2\|} \right]_{\ell} = \left[\frac{A_1 - A_2}{\|A_1 - A_2\|} \right]_{\ell} + \left[\sum_{i=3}^n \frac{A_i - A_2}{\|A_i - A_2\|} \right]_{\ell} = -1 + \left[\sum_{i=3}^n \frac{A_i - A_2}{\|A_i - A_2\|} \right]_{\ell}$$

بنابراین، با به ۴۸-۱ داریم

$$\left[\sum_{i=1}^n \frac{A_i - A_2}{\|A_i - A_2\|} \right]_{\ell} < -1$$

و یا

$$\left\| \left[\sum_{i=1}^n \frac{A_i - A_2}{\|A_i - A_2\|} \right]_{\ell} \right\| > 1$$

□

با توجه به این نامساوی، رابطه ۴۶-۱ بدست می آید.

قضیه ۵. داریم

$$\sum_{i=1}^n \|A_i - P_{r+1}\| \leq \sum_{i=1}^n \|A_i - P_r\| \quad r = 1, 2, 3, \dots ad.inf.$$

که علامت = تنها در حالتی صحیح است که $P_r \equiv P_{r+1}$ باشند.

قضیه ۶. دنباله (P) ، یک نقطه همگرایی دارد.

□

برهان. برای اثبات به [۲۰] مراجعه کنید.

قضیه ۷. فرض می کنیم دنباله نقاط (P) ، یک نقطه همگرایی (M) مجزا از نقاط A دارد. روش مورد نظر را روی این نقطه اعمال می کنیم، نقطه بدست آمده به عنوان تصویر، خود نقطه M خواهد بود.

برهان. (فرض خلف) فرض می کنیم که تصویر M یک نقطه M' باشد، $M' \equiv M$ ، و می خواهیم به تناقض برسیم. نقطه M' نقطه همگرایی دنباله (P) است، $??????/??????$ با توجه به قضیه ۹-۱ داریم

$$\sum_{i=1}^n \|A_i - M\| > \sum_{i=1}^n \|A_i - M'\| \quad (49-1)$$

از طرف دیگر داریم که دنباله ای از مقادیر مثبت (به طور یکنواخت کاهشی)

$$\sum_{i=1}^n \|A_i - P_1\|, \sum_{i=1}^n \|A_i - P_2\|, \sum_{i=1}^n \|A_i - P_3\|, \dots,$$

همگراست. اما پس از آن، برای هر نقطه همگرایی دنباله (P) ، پس همچنین برای M و M' داریم

$$\sum_{i=1}^n \|A_i - M\| = \sum_{i=1}^n \|A_i - M'\| \quad (50-1)$$

□ که این با رابطه ۴۹-۱ در تناقض است.

قضیه ۸. نقطه همگرایی (M) از (P) ، که با هیچ یک از نقاط A منطبق نیست، در رابطه M_1 صدق می کند.

□ برهان. برای اثبات به [۲۰] مراجعه کنید.

قضیه ۹. دنباله (p) حداکثر یک نقطه همگرایی متفاوت از نقاط A دارد.

برهان. از قضیه ۹-۱ داشتیم که یک چنین نقطه همگرایی در رابطه (M_1) صدق می کند، در حالی که طبق قضیه ۹-۱ داریم که حداکثر یک نقطه می تواند وجود داشته باشد که در رابطه (M_1) صدق کند. □

قضیه ۱۰. اگر نقطه A_k یک نقطه همگرایی از دنباله (P) باشد، در عین حال آن تنها نقطه همگرایی این دنباله است.

□ برهان. برای اثبات به [۲۰] مراجعه کنید.

قضیه ۱.۱. اگر نقطه A_k یک نقطه همگرایی دنباله (P) باشد، آنگاه در رابطه M_2 صدق می کند.

□ برهان. برای اثبات به [۲۰] مراجعه کنید.

اثبات قضیه درباره نقطه همگرایی دنباله (P)

قضیه ۱. دنباله (P) همگراست، نقطه همگرایی آن در یکی از روابط (M) صدق می کند، و مکان نقطه همگرایی مستقل از انتخاب P_1 است.

برهان. قسمت اول ادعا خلاصه ای از اصل های ۹-۱ تا ۹-۱ است. در واقع، اگر دنباله یک نقطه همگرایی در یکی از نقاط A بدهد، طبق قضیه ۹-۱ آن تنها نقطه همگرایی دنباله خواهد بود، و این نقطه طبق قضیه ۹-۱ در رابطه M_2 صدق می کند. اگر، به عبارتی، هیچ یک از نقاط A نقطه همگرایی دنباله (P) نباشند، سپس، طبق قضیه ۹-۱ این دنباله تنها یک نقطه همگرایی دارد که طبق قضیه ۹-۱ در رابطه M_1 صدق می کند. برای اثبات قسمت دوم ادعا، یک نقطه P'_1 مجزا از P_1 در نظر می گیریم، و از این نقطه با استفاده از روش مورد نظر شروع می کنیم، دنباله ای از نقاط ساخته می شود

$$P'_1, P'_2, P'_3, \dots \quad (P')$$

سپس فرض می کنیم که نقطه همگرایی M' دنباله (P') مجزا از نقطه همگرایی M دنباله (P) است. برای این دو نقطه، باید یکی از روابط زیر برقرار باشد

$$\begin{aligned} a. \quad & \sum_{i=1}^n \frac{A_i - M}{\|A_i - M\|} = 0 \quad \text{and} \quad \sum_{i=1}^n \frac{A_i - M'}{\|A_i - M'\|} = 0, \\ b. \quad & \sum_{i=1}^n \frac{A_i - M}{\|A_i - M\|} = 0 \quad \text{and} \quad \left\| \sum_{i=1}^n \frac{A_i - M'}{\|A_i - M'\|} \right\| \leq 1, \\ c. \quad & \left\| \sum_{i=1}^n \frac{A_i - M}{\|A_i - M\|} \right\| \leq 1 \quad \text{and} \quad \sum_{i=1}^n \frac{A_i - M'}{\|A_i - M'\|} = 0 \\ d. \quad & \left\| \sum_{i=1}^n \frac{A_i - M}{\|A_i - M\|} \right\| \leq 1 \quad \text{and} \quad \left\| \sum_{i=1}^n \frac{A_i - M'}{\|A_i - M'\|} \right\| \leq 1 \end{aligned}$$

اما بین $a.$ و $۹-۱$ ؛ $b.$ و $۹-۱$ ؛ $c.$ و $۹-۱$ ؛ $d.$ و $۹-۱$ تناقض وجود دارد.

□

قضیه ۲. نقطه همگرایی دنباله (P) ، مینیمم نقطه نقاط A است.

برهان.

۱. فرض کنید X یک نقطه دلخواه مجزا از نقاط A و نقطه همگرایی M دنباله (P) ، باشد. از X شروع می‌کنیم و طبق روش مورد نظر دنباله ای از نقاط را می‌سازیم

$$X, X_2, X_3, \dots \quad (X)$$

طبق قضیه ۹-۱ نقطه M نقطه همگرایی این دنباله است. اما X منطبق با M نیست، بنابراین طبق قضیه ۹-۱ داریم

$$\sum_{i=1}^n \|A_i - X\| > \sum_{i=1}^n \|A_i - X_2\| > \sum_{i=1}^n \|A_i - X_3\| > \dots > \dots = \lim_{r \rightarrow \infty} \sum_{i=1}^n \|A_i - X_r\| = \sum_{i=1}^n \|A_i - M\|$$

و بنابراین

$$\sum_{i=1}^n \|A_i - X\| > \sum_{i=1}^n \|A_i - M\|$$

□

که از این نتیجه می‌گیریم M مینیمم نقطه است.

۲. حال یکی از نقاط A را به عنوان نقطه X در نظر می‌گیریم، اما مجزا از M . فرض می‌کنیم که نقطه A_1 از این نوع باشد. با این فرض که

$$\sum_{i=1}^n \|A_i - M\| \geq \sum_{i=1}^n \|A_i - A_1\| \quad (51-1)$$

می‌خواهیم به تناقض برسیم.

فرض میکنیم C نقطه میانی قطعه $\|A_1 - M\|$ باشد. از آنجایی که در هر مثلث میانه وارد بر هر ضلع از میانگین حسابی دو ضلع دیگر کوچکتر است، داریم

$$\|A_i - C\| \leq \frac{\|A_i - M\| + \|A_i - A_1\|}{2} \quad (i = 1, 2, \dots, n) \quad (52-1)$$

که علامت = فقط زمانی برقرار است که نقطه A_i روی خط A_1M قرار داشته باشد. اما همه نقاط A نمی‌توانند روی خط A_1M قرار داشته باشند، بنابراین با جمع کردن نامساوی‌ها از (۲) بدست می‌آید

آید که

$$\sum_{i=1}^n \|A_i - C\| \leq \frac{\sum_{i=1}^n \|A_i - M\| + \sum_{i=1}^n \|A_i - A_1\|}{2} \quad (i = 1, 2, \dots, n)$$

و از (۵۱-۱) داریم

$$\sum_{i=1}^n \|A_i - C\| < \sum_{i=1}^n \|A_i - M\|$$

اگر C با هیچ یک از نقاط A منطبق نباشد، با شماره قبل متناقض است. اما اگر C در یکی از نقاط A قرار بگیرد، ما میانه C' از قطعه $\|M - C\|$ را در نظر می گیریم، و یا اگر دوباره این در یکی از نقاط A ، میانه C'' از قطعه $\|M - C'\|$ ، و غیره، تا زمانی که یک نقطه مجزا از نقاط A پیدا شود. برای این نقطه نامساوی بالا را که قبلا برای C بدست آوردیم، را داریم، و بنابراین دوباره به تناقض می رسیم.

فصل ۲

مدل ریاضی PHLP

۱-۲ مقدمه

یک شبکه هاب - اسپوک شامل نقاط در حال تعامل و سه نوع اتصال اجتماع، انتقال و توزیع را در نظر بگیرید. شرایط زیر را برای PHLP در نظر می گیریم:

- تعداد هاب ها داده شده است.
- هاب ها کاملاً متصل اند و همه جریان بین هر جفت اسپوک ها از میان هاب ها عبور می کند، یعنی حمل و نقل مستقیم بین اسپوک ها وجود ندارد.
- ظرفیت هاب ها نامحدود است.
- هر اسپوک فقط به یک هاب اختصاص داده میشود و امکان اختصاص یک اسپوک به چندین هاب وجود ندارد.

در فصل ۱ دو مسئله PHLP و DHLP به طور بسته شرح داده شدند. در این فصل ابتدا نکاتی که به طور معمول در هر دو فرمول برنامه ریزی ریاضی PHLP و DHLP استفاده شده است را ارائه می دهیم، و در قسمت بعد ابتدا مدل برنامه ریزی ریاضی DHLP مورد بررسی قرار می گیرد تا کاملاً قابل فهم باشد و سپس به مدل برنامه ریزی ریاضی PHLP می پردازیم.

۲-۲ معرفی متغیرهای مدل برنامه ریزی ریاضی

در این قسمت متغیرهایی را که در مدل برنامه ریزی هر دو مسئله PHLP و DHLP استفاده شده است را معرفی می‌کنیم.

تعداد گره‌ها (اسپوک‌ها) در شبکه هاب - اسپوک	n
تعداد هاب‌ها	p
اندیس‌های گره‌ها $i, j = 1, \dots, n$	i, j
اندیس‌های گره‌ها $k, l = 1, \dots, p$	k, l
نمایش وزن، مقدار جریان از گره i به گره j	w_{ij}
هزینه اجتماع جریان از یک گره مبدا به یک هاب	α_c
هزینه توزیع جریان از یک هاب به یک گره مقصد	α_d
هزینه انتقال جریان بین یک جفت هاب بطوریکه $\alpha_t \leq \min\{\alpha_c, \alpha_d\}$	α_t
فاصله از گره i تا گره k	d_{ik}

۳-۲ مدل برنامه ریزی ریاضی PHLP

در این قسمت ابتدا مدل برنامه ریزی ریاضی DHLP معرفی شده است. در این مدل x_{ik} نشان دهنده تخصیص اسپوک‌ها به هاب‌ها برای هر $i \neq k$ است، به طوری که اگر گره i به هاب k تخصیص داده شده باشد x_{ik} مقدار ۱ می‌گیرد و در غیر اینصورت مقدار ۰ می‌گیرد. زمانی که $i = k$ است، x_{kk} مقدار ۱ می‌گیرد. این بدین معنی است که گره به عنوان هاب انتخاب شده است. سپس مدل برنامه ریزی ریاضی DHLP به صورت زیر است:

$$\min \sum_{i=1}^n \sum_{j=1}^n w_{ij} \left\{ \sum_{k=1}^p \alpha_c d_{ik} x_{ik} + \sum_{l=1}^p \alpha_d d_{jl} x_{jl} + \sum_{k=1}^p \sum_{l=1}^p \alpha_t d_{kl} x_{ik} x_{jl} \right\} \quad (1-2)$$

$$\text{s.t.} \quad (n - p + 1) x_{kk} - \sum_{i=1}^n x_{ik} \geq 0 \quad \forall k \quad (2-2)$$

$$\sum_{k=1}^p x_{ik} = 1 \quad \forall i \quad (3-2)$$

$$\sum_{k=1}^p x_{kk} = p \quad (4-2)$$

$$x_{ik} \in \{0, 1\} \quad \forall i, k \quad (5-2)$$

تابع هدف (۱-۲) تابعی از هاب های انتخاب شده و تصمیمات تخصیص است. سه عبارت به ترتیب هزینه های اجتماع از اسپوک ها به هاب ها ، هزینه های توزیع از هاب ها به اسپوک ها و هزینه های انتقال بین هاب ها را بیان می کنند. در واقع هدف مینیمم کردن هزینه ها است. محدودیت (۲-۲) برای اختصاص گره های غیر هاب به گره های هاب استفاده می شود. در این نوع مسئله یک گره هاب نمی تواند به هاب دیگری اختصاص داده شود اما یک هاب با هیچ اسپوکی می تواند وجود داشته باشد. محدودیت (۳-۲) تضمین می کند که هر اسپوک به طور دقیق به یک هاب اختصاص داده شده است به عبارت دیگر این محدودیت بررسی می کند که هر اسپوک تنها به یک هاب اختصاص داده شود. محدودیت (۴-۲) بررسی میکند که تعداد هاب ها دقیقا p تا است. عبارت (۵-۲) بیان می کند که مقدار x_{ik} برابر با ۰ یا ۱ است.

تخصیص اسپوک ها به هاب ها برای $DHLP$ و $PHLP$ مشابه است. با این حال یک تفاوت اساسی بین این دو مدل وجود دارد. در $DHLP$ هاب ها را می توان تنها روی گره های داده شده قرار داد ولی در $PHLP$ هاب ها را می توان در هر نقطه از فضای دو بعدی و یا بالاتر قرار داد. بنابراین در $PHLP$ علاوه بر متغیر تصمیم گسسته که برای اختصاص اسپوک ها به هاب ها وجود دارد یک متغیر تصمیم پیوسته برای تعیین مکان هاب ها وجود دارد. در این مسئله متغیر تصمیم گسسته یک متغیر باینری است ، X_{ik} مقدار ۱ می گیرد اگر گره i به هاب k تخصیص داده شده باشد در غیر اینصورت مقدار ۰ می گیرد.

برای تعیین مکان هاب یک بردار مکان لازم است. از آنجا که روی سطح مسطح کار شده است پس بردار مکان دو عضو دارد ، اما این را می توان به ابعاد بالاتر تعمیم داد. در مسئله های مکان یابی پیوسته، اگرچه هر نرم فاصله ای را می توان استفاده کرد اما فاصله اقلیدسی اندازه فاصله معروفی است و تنها اندازه ای است که در $PHLP$ ها استفاده شده است.

تعریف ۲-۳-۱. اگر مکان گره i توسط بردار $a_i = (a_i^1, a_i^2)$ داده شده باشد آنگاه اندازه فاصله اقلیدسی بین هاب k و گره i به صورت زیر محاسبه می شود:

$$d(y_k, a_i) = \| y_k - a_i \| = \sqrt{(y_k^1 - a_i^1)^2 + (y_k^2 - a_i^2)^2} \quad (۶-۲)$$

پس فرمول برنامه ریزی ریاضی $PHLP$ به صورت زیر است:

$$\min \sum_{i=1}^n \sum_{j=1}^n w_{ij} \left\{ \sum_{k=1}^p \alpha_c d(y_k, a_i) x_{ik} + \sum_{l=1}^p \alpha_d d(y_l, a_j) x_{jl} + \sum_{k=1}^p \sum_{l=1}^p \alpha_t d(y_k, y_l) x_{ik} x_{jl} \right\} \quad (۷-۲)$$

$$\text{subject to} \quad \sum_{k=1}^p x_{ik} = 1 \quad \forall i \quad (8-2)$$

$$\sum_{i=1}^n x_{ik} \geq 1 \quad \forall k \quad (9-2)$$

$$x_{ik} \in \{0, 1\} \quad \forall i, k \quad (10-2)$$

تابع هدف (۷-۲) مجموع هزینه های حمل و نقل (هزینه های اجتماع ، توزیع و انتقال) را مینیمم می کند. محدودیت (۸-۲) تضمین می کند که هر گره تنها به یک هاب اختصاص داده شود. محدودیت (۹-۲) تضمین می کند که حداقل باید یک اسپوک به هر هاب اختصاص داده شده باشد بنابراین دقیقاً p هاب استفاده شده وجود دارد. محدودیت (۱۰-۲) محدودیتی با مقدار صحیح ۰ و ۱ برای متغیر های تصمیم x_{ik} است.

آیکین و براون [۱۶] همچنین یک مدل برای مسئله $PHLP$ مشابه با مسئله بالا ارائه داده اند. مدل آنها بر اساس مدل برنامه ریزی ریاضی مسئله مکان یابی-تخصیص است در واقع آنها مسائل مکان یابی-تخصیص که شامل تعاملات تسهیلات جدید روی یک سطح هستند را بررسی می کنند. که در آن جریان بین تسهیلات موجود از بین تسهیلات جدید هدایت می شود و تسهیلات جدید در تعامل با یکدیگر هستند و میزان تعاملات آنها بوسیله جریان بین تسهیلات موجود که به آنها خدمت رسانی می کنند تعیین می شود. در این فرمول آنها فرض کرده اند که هزینه های اجتماع و توزیع با هم برابرند و یک فاکتور تخفیف برای هزینه انتقال بین هاب ها در نظر گرفته اند. بنابراین داریم: $\alpha_t = \tau \alpha_c = \tau \alpha_d$ که $\tau \in [0, 1]$ فاکتور تخفیف است. آنها همچنین فرض کرده اند که وزن ها متقارن هستند به طوری که برای هر i, j داریم $w_{ij} = w_{ji}$. در مسئله بالا هزینه های انتقال ، اجتماع و توزیع متفاوت هستند و لزوماً وزن ها متقارن نیستند. بنابراین این فرمول کلی تر است و مشکلات زندگی واقعی را بهتر از فرمول آیکین و براون مورد بررسی قرار می دهد. علاوه بر این آنها مجموعه محدودیت (۹-۲) در مسئله بالا را استفاده نمی کنند و این بدان معنی است که تعدادی هاب بدون هیچ اسپوکی می تواند وجود داشته باشند.

۴-۲ الگوریتم ژنتیک

در این قسمت ابتدا برخی از مفاهیم اصلی الگوریتم ژنتیک را بیان می‌کنیم و سپس راه حل این مسئله که با استفاده از الگوریتم ژنتیک است را مورد بررسی قرار می‌دهیم. الگوریتم های ژنتیک (GAs) الگوریتم های فرا ابتکاری مبتنی بر جمعیت هستند که به طور گسترده ای برای حل مسئله های ترکیبی استفاده می‌شود. الگوریتم ژنتیک یکی از پر کاربرد ترین روش های فرا ابتکاری برای حل مسائل بهینه سازی است. این الگوریتم علاوه بر داشتن یک منطق بسیار ساده برای حل مسائل بهینه سازی، قابلیت به دست آوردن جواب نزدیک به بهینه برای انواع مسائل پیچیده ای را که با سایر روش ها جواب مناسبی برای آنها یافت نمی‌شود، دارد. در برخی از مطالعات GAs برای حل DHLP پیشنهاد شده است [۱۰، ۱۱]. در ابتدا برخی از مفاهیم اصلی الگوریتم ژنتیک را مورد بررسی قرار می‌دهیم. از آنجائیکه ایده اصلی GAs بر پایه اصل انتخاب طبیعی است، اصطلاحات استفاده شده در این الگوریتم ها نیز برگرفته از این اصل هستند.

تعریف ۲-۴-۱. به رشته ای که از تعدادی ژن کد گذاری شده که نشان دهنده اجزای جواب هستند، تشکیل شده است، کروموزوم^۱ می‌گویند. هر جواب مسئله بهینه سازی ترکیبی با یک کروموزوم نشان داده می‌شود. در واقع در الگوریتم ژنتیک یک فرد یا یک کروموزوم نشان دهنده یک جواب مسئله است. اگرچه برای نمایش کروموزوم ها، معمولاً از کدگذاری های دودویی (رشته های بیتی) استفاده می‌شود.

تعریف ۲-۴-۲. اعضای تشکیل دهنده کروموزوم ها، ژن^۲ نامیده می‌شود که معمولاً هر ژن مقدار یکی از متغیر های مسئله را نشان می‌دهد. اگر متغیر های مسئله مستقل باشند برای هر کدام یک ژن تعریف می‌کنیم چون متغیر های وابسته مسئله را می‌توان با داشتن مقدار متغیر های مستقل بدست آورد.

تعریف ۲-۴-۳. تابعی که میزان برازندگی یا سازگار بودن یک کروموزوم را نسبت به هدف مسئله ارزیابی می‌کند، تابع برازندگی^۳ نامیده می‌شود. این تابع معمولاً نامنفی است و معمولاً در الگوریتم ژنتیک به دنبال ماکزیمم کردن مقدار برازندگی کروموزوم ها هستیم.

تعریف ۲-۴-۴. به مجموعه ای از کروموزوم ها که در کنار هم قرار گرفته اند، جمعیت^۴ گفته می‌شود. به عبارت دیگر هر کروموزوم یک فرد از افراد جمعیت است.

تعریف ۲-۴-۵. هر تکرار الگوریتم را یک نسل^۵ می‌نامند.

^۱chromosome

^۲gene

^۳fitness function

^۴population

^۵generation

تعریف ۲-۴-۶. به هر یک از کروموزوم های شرکت کننده در عمل تقاطع یا جهش، والد می گویند.

تعریف ۲-۴-۷. به ترکیب ژنتیکی دو یا چند کروموزوم به منظور تولید فرزند^۱ عمل تقاطع^۲ گفته می شود. به عبارت دیگر، فرزند حاصل از عمل تقاطع ژنتیکی بعضی از صفات را از پدر و بعضی دیگر را از مادرش به ارث می برد. مثلاً رنگ چشمش را از پدر و رنگ پوست و یا طول قد را از مادر به ارث می برد. در الگوریتم ژنتیک، عمل تقاطع به شیوه های بسیار متفاوت و متعددی انجام می شود که عبارتند از: تقاطع تک نقطه ای، تقاطع دو نقطه ای، تقاطع چند نقطه ای، تقاطع یکنواخت، تقاطع PMX ، تقاطع MOX .

تعریف ۲-۴-۸. نرخ تولید فرزندان جدید به روش تقاطع را نرخ تقاطع می گویند و آن را با P_c نشان می دهند که معمولاً در دامنه ی $[0.5, 1]$ قرار دارد.

اگر اندازه جمعیت $Popsiz$ باشد، آنگاه باید تعداد $P_c \times PopSize$ فرزند جدید را با استفاده از انجام عمل تقاطع روی افراد جامعه فعلی ایجاد کرد.

مثال ۲-۴-۹. اگر نرخ تقاطع را $P_c = 0.52$ فرض کنیم و ۴ کروموزوم داشته باشیم، در این صورت عملگر تقاطع بر روی دو کروموزوم اعمال می شود ($2 \simeq 0.52 \times 4 = 2.08$).

تعریف ۲-۴-۱۰. به تغییر مقدار چند ژن در یک کروموزوم به منظور تولید فرزند، عمل جهش^۳ گفته می شود. در طبیعت معمولاً احتمال کمی وجود دارد که فرزندی خصوصیتی را دارا باشد که آن مشخصه جزو خصوصیات ژنتیکی پدر و مادرش نباشد. در این وضعیت، حالتی از جهش ژن ها به وجود آمده است. اگر در هنگام اتفاق افتادن عمل جهش، خصوصیتی برنده شود، این مشخصه تازه ایجاد شده شانس گسترش و بروز در نسل های بعدی را پیدا می کند. به عبارت دیگر این خصوصیت در یک محوطه ایزوله شده باقی می ماند و به سرعت به نسل های بعدی منتقل می شود. در الگوریتم ژنتیک عمل جهش به شیوه های مختلفی انجام می شود که عبارتند از: جهش یکنواخت، جهش تعویض، جهش تعویض با همسایه، جهش تعویض گروهی، جهش وارون ساز تک نقطه ای، جهش وارون ساز دو نقطه ای، جهش شیفت به راست، جهش جای گذاری، جهش جای گذاری گروهی.

تعریف ۲-۴-۱۱. نرخ تولید فرزندان جدید به روش جهش را نرخ جهش می نامند و آن را با P_m نشان می دهند. معمولاً نرخ جهش کوچک بوده و بسته به نوع مسئله تعیین می گردد.

اگر اندازه جمعیت $Popsiz$ باشد، آنگاه باید تعداد $P_m \times PopSize$ فرزند جدید را با استفاده از انجام عمل جهش روی افراد جامعه فعلی ایجاد کرد.

^۱child ^۲crossover ^۳mutation

مثال ۲-۴-۱۲. اگر نرخ جهش $P_m = 0.01$ فرض شود، در این صورت روی جمعیتی با ۴ کروموزوم هیچ جهشی صورت نمی‌گیرد ($0.01 \times 4 = 0.04 \simeq 0$).

الگوریتم ژنتیک با یک جمعیت اولیه از جواب‌ها شروع می‌شود که این جمعیت از طریق نسل استنتاج می‌شود. در هر نسل، افراد با برازندگی بالاتر به عنوان پدر و مادر برای تکثیر با عملگر تقاطع انتخاب می‌شوند. فرزندان از طریق جهش تولید شده و جایگزین همه یا پدر و مادر با برازندگی پایین تر می‌شوند. به این ترتیب، ویژگی‌های خوب به بیشتر مردم گسترش داده می‌شود، ترکیب با دیگر ویژگی‌های خوب و در نهایت تولید افراد با برازندگی بیشتر.

تعریف ۲-۴-۱۳. اگر S کل فضای جواب باشد، آنگاه جواب $s \in S$ ، یک بهینه محلی است، اگر بهترین کیفیت را نسبت به تمام همسایه‌های خود داشته باشد.

۲-۴-۱ حل مسئله PHLP با الگوریتم ژنتیک

در PHLGA دو مجموعه از متغیرهای تصمیم (متغیرهای تخصیص و مکان‌یابی) در دامنه‌های مختلف تعریف شده‌اند. بنابراین از طرح‌های نمایش مختلف برای هر مجموعه متغیرهای تصمیم استفاده شده است.

- تخصیص اسپوک‌ها به هاب‌ها با یک بردار $1 \times n$ بیان شده است. در این طرح، i امین عضو از بردار، شماره‌هایی را که گره i به آن تخصیص داده شده را نشان می‌دهد. بنابراین، هر ژن یک مقدار از مجموعه $\{1, \dots, p\}$ را می‌تواند بگیرد.

مثال ۲-۴-۱۴. برای یک مسئله با $n = 7$ گره و $p = 3$ هاب یک نمونه از طرح تخصیص به صورت زیر داریم:

۱	۲	۳	۲	۲	۱	۳
---	---	---	---	---	---	---

در این طرح تخصیص گره ۱ به هاب ۱، گره ۲ به هاب ۲، گره ۳ به هاب ۳، گره ۴ به هاب ۲، گره ۵ به هاب ۲، گره ۶ به هاب ۱ و گره ۷ به هاب ۳ تخصیص داده شده است.

• مکان هاب ها با یک ماتریس $2 \times p$ بیان شده است. k امین سطر از ماتریس، مختصات هاب k را نشان می دهد.

مثال ۲-۴-۱۵. مکان هاب ها برای یک مساله با $p = 3$ به صورت زیر نمایش داده می شود.

$$Y = \begin{bmatrix} y_1 \\ y_2 \\ y_3 \end{bmatrix} = \begin{bmatrix} 8 & 12 \\ 4 & 1 \\ 20 & 4 \end{bmatrix}$$

۲-۴-۲ تابع برازندگی

تابع هدف (۲-۷) از مسئله $p2$ به عنوان تابع برازندگی استفاده شده است. از آنجا که هدف مینیمم کردن مقدار تابع هدف است در نتیجه مقدار پایین تابع هدف بر برازندگی بالاتر اشاره دارد.

۲-۴-۳ تولید جمعیت اولیه

جمعیت اولیه معمولاً به صورت تصادفی تولید می شود. در این روش تولید جمعیت اولیه در *PHLGA* برای تولید نخستین افراد جمعیت هاب ها را به طور تصادفی روی سطح مسطح قرار داده و سپس هر گره به نزدیکترین هاب اختصاص داده می شود.

۲-۴-۴ انتخاب والدین

در هر نسل از *PHLGA*، همه اعضای جمعیت اجازه شرکت کردن در عمل تقاطع یا جهش به منظور تولید فرزند را دارند. برای انتخاب دو والد برای تولید فرزند، ابتدا اعضای جمعیت را به هم می ریزیم، و سپس والدین را از این دنباله تصادفی، یکی بعد از دیگری انتخاب می کنیم. به عبارت دیگر، ابتدا دو عضو ۱ و ۲ به عنوان والد برای تولید فرزندان انتخاب می شوند و سپس افراد ۲ و ۳ و بعد ۳ و ۴ و غیره. در این روش انتخاب والدین، به هر فرد در جامعه دو بار اجازه شرکت در تولید مثل داده می شود.

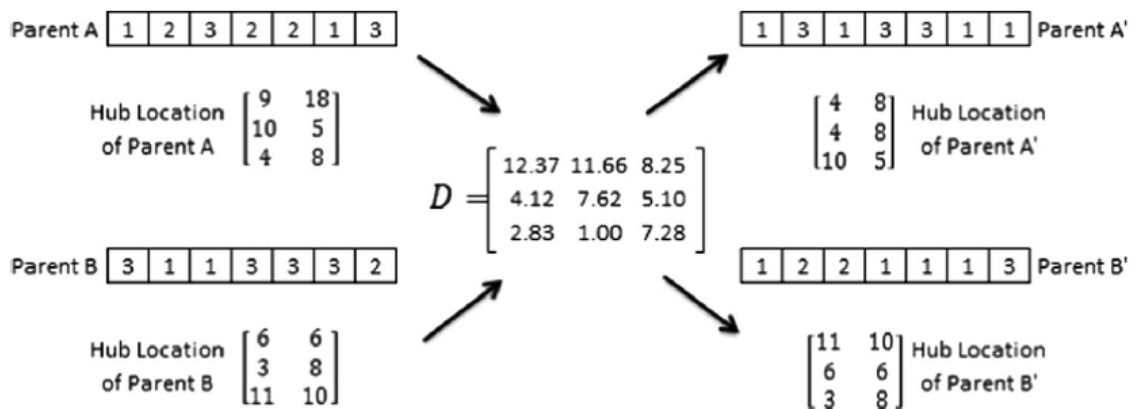
۲-۴-۵ عملگر تقاطع

عملگر تقاطع برای تولید فرزند از طریق ترکیب ژن های والدین استفاده می شود. در اینجا دو عملگر تقاطع متفاوت برای تخصیص گسسته و مکان یابی پیوسته استفاده شده است.

- عملگر تخصیص ژن های مشترک دو والد را حفظ می کند. با این وجود ممکن است جواب های مشابه داشته باشیم. در واقع شماره هاب ها مهم نیست بلکه تخصیص گره ها به هاب ها مهم است. بنابراین قبل از عملگر تقاطع تخصیص باید مجدداً کروموزوم ها را شماره گذاری کنیم. بدون شماره گذاری مجدد عملگر تقاطع جواب خوبی از ترکیب والدین برای تولید فرزند را نمی دهد.

در روش شماره گذاری مجدد، یک ماتریس فاصله $p \times p$ به نام D از فاصله هاب ها در دو والد بدست می آید. عضو d_{kl} از ماتریس D ، فاصله بین هاب K از والد A و هاب l از والد B است. سپس والد A به عنوان معیار سنجش انتخاب می شود، هاب های والد B برای بدست آوردن والد B' شماره گذاری مجدد می شوند. برای هاب k در والد A ، نزدیکترین هاب در والد B به صورت $l' = \operatorname{argmin}_l \{d_{kl}\}$ پیدا می شود و هاب l' در والد B به نام k شماره گذاری می شود. و در نهایت شماره گذاری مجدد در بردار تخصیص با به روز کردن شماره هاب ها در والد B به شماره های جدید در B' انجام می شود. بنابراین، به طور کلی B و B' جواب های عیناً مثل هم را ارائه می دهند. اما معلوم نیست که کدامیک از والدین اصلی پرازندگی بهتری دارند، بنابراین روش شماره گذاری مجدد برای والد دیگر نیز انجام می شود. بنابراین با در نظر گرفتن والد B به عنوان معیار سنجش، هاب های والد A شماره گذاری مجدد می شوند، به عبارت دیگر $k' = \operatorname{argmin}_k \{d_{kl}\}$ برای شماره گذاری مجدد هاب k' در A به نام هاب l در A' استفاده می شود.

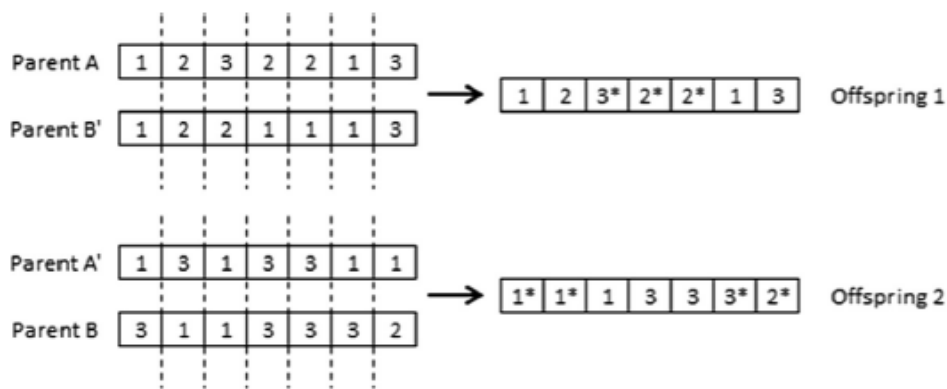
مثال ۲-۴-۱۶. برای یک مسئله که $n = 7$ و $p = 3$ روش شماره گذاری مجدد در زیر انجام شده است.



شکل ۲-۱

توجه کنید که والد A' جواب مشابه به والد A را ارائه نمی دهد زیرا برای هر دو هاب $l = 1$ و $l = 2$ از والد B ، $K' = 3$ است. در این حالت هاب ۳ از والد A برازنده هر دو هاب ۱ و ۲ در A' است. با توجه به این مثال نتیجه می گیریم که روش شماره گذاری مجدد ممکن است کمتر از p هاب داشته باشد. اما جواب نهایی $PHLGA$ دقیقاً p هاب و هر هاب حداقل یک اسپوک را به خود اختصاص می دهد.

بعد از اینکه دو والد A' و B' با روش شماره گذاری مجدد هاب ها در دو والد A و B بدست آمدند، ابتدا تخصیص و سپس عملگر مکان یابی به کار برده می شود. فرزند ۱ از دو والد A و B' و فرزند ۲ از دو والد A' و B تولید می شوند. عملگر تقاطع تخصیص به صورت زیر کار می کند. اگر یک اسپوک به هاب یکسان در هر دو والد تخصیص داده شده باشد، به طور مستقیم به آن هاب در فرزند تخصیص داده می شود و اگر یک اسپوک به دو هاب متفاوت در دو والد اختصاص داده شده باشد، پس با احتمال برابر به طور تصادفی یکی از آنها انتخاب می شود. اگر کمتر از P هاب در فرزند وجود داشت ما انتخاب تصادفی هاب های والدین را تکرار میکنیم تا دقیقاً P هاب وجود داشته باشد. مثالی از عملگر تقاطع تخصیص در ۲-۲ داده شده است.



شکل ۲-۲: مثالی از تقاطع تخصیص (* ژن هایی که به طور تصادفی از والدین انتخاب شده اند را نشان می دهد)

در عملگر تقاطع مکان یابی ، مکان هاب های فرزند با یک معادله ای از مکان هاب های والدین به وسیله پارامتر μ تعیین می شوند که معادله آن به صورت زیر است:

$$Y_{offspring1} = \mu Y_A + (1 - \mu) Y_{B'} \quad (11-2)$$

$$Y_{offspring2} = \mu Y_B + (1 - \mu) Y_{A'} \quad (12-2)$$

پارامتر μ به طور تصادفی از توزیع نرمال که میانگین و واریانس 0.5 هستند تولید شده است. استفاده از پارامتر μ به جستجوی بهتر فضای جواب برای مکان هاب ها، کمک می کند. برای مثال، مکان هاب k در فرزند ۱ با احتمال 0.68 روی پاره خط بین Y_{KA} و $Y_{KB'}$ و با احتمال 0.32 بیرون پاره خط قرار می گیرد. بنابراین، اگر با توجه به مقدار μ ، هر هاب بیرون فضای مستطیل شکل که با اسپوک ها مشخص شده قرار بگیرد، ما پارامتر μ و مکان هاب ها را دوباره مقدار دهی می کنیم تا درون فضا قرار بگیرند.

۲-۴-۶ عملگر جهش

در الگوریتم ژنتیک هدف از عملگر جهش جستجوی فضای جواب ناشناخته است. یعنی با استفاده از جهش سعی میکنیم جواب های جدیدی را با تغییر اجزا جواب با یک احتمال کم بیابیم به طوری که بتوانیم آن ها را در همسایگی های نزدیک جواب های موجود بیابیم. از این رو گفته می شود که هدف از جهش فرار از دام بهینه محلی است. مانند عملگر تقاطع، عملگر های جهش متفاوت برای تخصیص و مکان یابی استفاده شده است. در عملگر تخصیص، اسپوک i به هاب k_i^* با کمترین هزینه بوسیله معادله زیر تخصیص می یابد:

$$k_i^* = \operatorname{argmin}\left\{collection_{ik} + distribution_{ki} + \sum_l transfer_{kl}\right\} \quad (13-2)$$

$$\text{where } collection_{ik} = \sum_{j=1}^n w_{ij} \alpha_c d(y_k, a_i) \quad (14-2)$$

$$distribution_{ki} = \sum_{j=1}^n w_{ji} \alpha_d d(y_k, a_i) \quad (15-2)$$

$$\sum_l transfer_{kl} = \sum_{j=1}^n w_{ij} \sum_{l=1}^p \alpha_l d(y_k, y_l) \quad (16-2)$$

در عملگر مکان یابی، برای تخصیص داده شده، مکان هر یک از هاب ها با روش پیشنهادی ایستر و دوستانش^۱ به روز رسانی می شود [۱۹]. همچنین آیکین و براون این روش را برای سهولت به روز رسانی مکان تسهیلات در حال تعامل استفاده کرده اند [۱۶]. این عملگر جهش مکان هاب ها را به کمک معادله زیر به روز رسانی می کند:

$$y_k' = \frac{\sum_{l \neq k} \left(\frac{\sum transfer_{kl} y_l}{d(y_k, y_l)^2} \right) + \sum_i \left(\frac{(collection_{ik} + distribution_{ki}) y_k}{d(y_k, a_i)^2} \right)}{\sum_{l \neq k} \left(\frac{\sum transfer_{kl}}{d(y_k, y_l)^2} \right) + \sum_i \left(\frac{(collection_{ik} + distribution_{ki})}{d(y_k, a_i)^2} \right)} \quad (17-2)$$

در معادله (۱۷-۲) عملگر جهش بیانگر این است که مکان هاب k به مکان اسپوک ها و هاب های دیگر بستگی دارد. این روش شبیه به روش به روز رسانی مرکز^۲ در الگوریتم ویزفلد^۳ است [۲۰] به طوری که مرکز جدید، ترکیب محدبی از نقاط است که وزن آن ها به صورت فاصله بین مرکز قبلی و نقاط محاسبه شده است. هر دو عملگر جهش تا همگرایی به طور تکراری استفاده می شوند. بنابراین، در *PHLGA* گام اول برای بهبودی، برای هر هاب فرزند به کار برده می شود. اگر یک فرزند جهش یافته بود، ابتدا عملگر تخصیص و پس از آن عملگر مکان یابی به کار برده شده است. و در نهایت اگر فرزند جهش یافته برانزنگی بیشتری داشته باشد جایگزین فرزند اصلی می شود.

^۱Eyster et al

^۲center update

^۳Weizsfeld Algorithm

۷-۴-۲ جایگزینی نسل

در الگوریتم ژنتیک، اندازه جمعیت ثابت است. بنابراین، باید مشخص شود که پس از تولید فرزندان از والدین انتخاب شده، کدام افراد از نسل فعلی و فرزندان جدید باید در نسل بعد حضور داشته باشند. بنابراین جایگزینی برای تعیین اینکه کدام یک از افراد قرار است در نسل بعدی حیات داشته باشند، استفاده می شود. در $PHLGA$ یک نوع تورنومنت انتخاب بر پایه تابع برازندگی استفاده شده است. بعد از هر تولید مثل، اولین والد و دو فرزند وارد مسابقه می شوند و فرد با بهترین برازش در میان آنها، مطلوب است. از آنجا که هر والد دوبار در معرض تولید مثل است، یک بار به عنوان اولین والد و یک بار به عنوان دومین والد، ما برای جلوگیری از همگرایی زودرس تنها اولین والد را در تورنومنت به حساب می آوریم.

۸-۴-۲ پارامترهای $PHLGA$

یکی از کارهای مهم در زمینه الگوریتم ژنتیک، قرار دادن پارامترهایی است که ممکن است این پارامترها یک اثر مهم روی کار داشته باشند. بنابراین یک الگوریتم ژنتیک با تعدادی پارامتر مطلوب است. $PHLGA$ تنها سه پارامتر دارد. مقدار این پارامترها با تجزیه و تحلیل نتایج مقدماتی اجرا تعیین می شود.

- اندازه جمعیت به صورت $\min\{np, 100\}$ قرار داده می شود. تعداد گره ها و تعداد هاب ها پیچیدگی مسئله را تعیین می کنند، و افزایش اندازه جمعیت بر این اساس یک روش معمول معقول است. با این حال، ما برای مسئله های بزرگ اندازه جمعیت را ۱۰۰ قرار می دهیم تا زمان انجام محاسبات در سطح معقول قرار بگیرد.
- شرط خاتمه به طور پیش فرض ۳۰۰ نسل تعیین شده است. یعنی الگوریتم هنگامی متوقف می شود که تعداد نسل ها (یا تعداد تکرارها) به مقدار مفروض ۳۰۰ برسد. این شرط با کشیدن میانگین و بهترین برازندگی از جمعیت نسل و امتحان کردن رفتار همگرایی الگوریتم تعیین می شود. در نهایت باید الگوریتم به یک جواب خوب بدون اتلاف زمان محاسبه همگرا باشد.
- نرخ جهش به طور پیش فرض 0.2 قرار داده شده است. در اجزای مقدماتی، مشاهده شده است که مقدار کم باعث همگرایی زود رس می شود و مقدار زیاد زمان محاسبات را بدون بهبود بخشیدن به کیفیت جواب افزایش می دهد.

چاپوب کلی الگوریتم در ۱-۲ داده شده است، که در آن P_A و P_B نشان دهنده والد A و B و o_1 و o_2 نشان دهنده فرزند ۱ و ۲ هستند.

الگوریتم ۱-۲ الگوریتم ژنتیک مسئله مکان یابی هاب پلانار PHLGA

$\{p_1, \dots, p_{pop-size}\} := \text{GENERATE INITIAL POPULATION}$

repeat

$r(\cdot) := \text{random permutation of } 1, \dots, pop - size$

for all $i = 1$ to pop-size **do**

$P_A := P_{r(i)}$ and $P_B := P_{r(i+1)}$

$(P'_A, P'_B) = \text{RENUMBER HUBS } (P_A, P_B)$

$o_1 := \text{CROSSOVER } (P_A, P'_B)$

$o_2 := \text{CROSSOVER } (P'_A, P_B)$

for all $j = 1$ to 2 **do**

$P = \text{rand } (0, 1)$

if $p \leq \text{mutation probability}$ **then**

$o_{j-mut} := \text{MUTATION}(o_j)$

$o_j := \text{SELECT BEST } (o_{j-mut}, o_j)$

end if

end for

$\text{SELECT BEST } (o_1, o_2, P_A)$

end for

until termination condition is satisfied

return the best individual

۵-۲ نتایج محاسبات

در این قسمت ارزیابی از عملکرد *PHLGA* از لحاظ کیفیت جواب و زمان محاسبه، ارائه کرده ایم. در قسمت ۱-۵-۲ مقایسه ای از *PHLGA* با الگوریتم ویزفلد^۱ با استفاده از مجموعه داده های شبیه سازی شده ای که مساله مکان یابی هاب را به مساله مکان یابی تسهیلات چند گانه تبدیل می کند، ارائه کرده ایم. همچنین نتایج *PHLGA* با جواب های *DHLP* که بوسیله *complete enumeration* بدست آمده اند، مقایسه شده است. و همچنین تاثیر پارامترهای مسئله مانند وزن ها و هزینه های انتقال بررسی شده است. در قسمت؟؟ نتایج روی مجموعه *CAB* و *AP* گزارش شده است و با جواب های *DHLP* و نتایج الگوریتم مکان یابی - تخصیص که از مقالات بدست آمده است، مقایسه شده است. برنامه های *PHLGA* و *complete enumeration* هر دو در متلب با ورژن R2012a کد گذاری شده اند. همچنین همه الگوریتم هایی که در مقایسه استفاده شده است، در محیط های مشابه مجددا کد گذاری شده اند. اجرا ها روی یک کامپیوتر با intel core i7 پردازشگر 3.40 GHz CPU و رم 8 GB انجام شده است.

۱-۵-۲ نتایج برای مجموعه داده های شبیه سازی شده

بر اساس مطالعات صورت گرفته، هیچ مجموع داده ای که جواب های بهینه آن مشخص شده اند وجود ندارد. بنابراین، الگوریتم روی مجموعه داده های شبیه سازی شده که مکان بهینه هاب ها می توانند پیدا شوند، بررسی شده است.

^۱weiszfeld algorithm

۲-۵-۱-۱ مقایسه با جواب بهینه

در این قسمت دو وضعیت متفاوت برای وزن (W_{ij}) استفاده شده است که عبارتند از:

- وزن های واحد
 - وزن های تصادفی بدست آمده از توزیع یکنواخت بین ۰ و ۱
- مشخصه های نمونه های مسئله در جدول ۲-۳ داده شده است.

Problem	Number of		Weights
	Nodes	Hubs	
$P_{20,2,U}$	20	2	Unit
$P_{30,3,U}$	30	3	Unit
$P_{40,4,U}$	40	4	Unit
$P_{200,2,U}$	200	2	Unit
$P_{300,3,U}$	300	3	Unit
$P_{400,4,U}$	400	4	Unit
$P_{20,2,R}$	20	2	Uniform(1,10)
$P_{30,3,R}$	30	3	Uniform(1,10)
$P_{40,4,R}$	40	4	Uniform(1,10)
$P_{200,2,R}$	200	2	Uniform(1,10)
$P_{300,3,R}$	300	3	Uniform(1,10)
$P_{400,4,R}$	400	4	Uniform(1,10)

شکل ۲-۳: مشخصه های نمونه های مسئله های شبیه سازی شده

برای هر نمونه مسئله ای که در جدول ۲-۳ داده شده است، ۵ تکرار از $PHLGA$ اجرا شده است. سپس جواب ویزفلد و بهترین جواب $PHLGA$ بین ۵ تکرار برای همه نمونه های مسئله در جدول ۲-۴ داده شده است. طبق جدول ۲-۴ جواب های $PHLGA$ مشابه جواب های ویزفلد هستند.

Problem instance	Objective function Value	
	Weiszfeld	PHLGA ^a
$P_{20,2,U}$	5928.0927	5928.0928
$P_{30,3,U}$	11,613.7768	11,613.7849
$P_{40,4,U}$	18,919.6466	18,919.6467
$P_{200,2,U}$	6,023,955.0065	6,023,955.0066
$P_{300,3,U}$	14,104,948.6421	14,104,948.6422
$P_{400,4,U}$	24,807,083.6291	24,807,083.6295
$P_{20,2,R}$	33,324.6079	33,324.6081
$P_{30,3,R}$	64,257.6231	64,257.6233
$P_{40,4,R}$	102,901.8776	102,901.8996
$P_{200,2,R}$	33,120,562.6691	33,120,562.6691
$P_{300,3,R}$	77,602,426.6896	77,602,426.6897
$P_{400,4,R}$	136,372,901.7916	136,372,901.7924

شکل ۲-۴: جواب $PHLGA$ برای نمونه های مسئله های شبیه سازی شده

زمان اجرا برای نمونه مسئله های شبیه سازی شده در جدول ۲-۵ داده شده است. طبق این جدول *PHLGA* مسئله ها را در زمان معقول حل می کند. حتی برای بزرگترین نمونه مسئله با ۴۰۰ گره، زمان اجرا برای یک تکرار تقریباً ۵۰ دقیقه است. در جواب ویزفلد تخصیص ها داده شده است، اما در *PHLGA* علاوه بر مکان یابی هاب ها باید گره ها را به هاب ها اختصاص دهد. بنابراین زمان اجرا الگوریتم ویزفلد و *PHLGA* قابل مقایسه نیستند.

Problem instance	Computation time (s)	
	Weiszfeld	PHLGA ^a
$P_{20,2,U}$	0.0140	30.7447
$P_{20,2,U}$	0.0246	109.7641
$P_{20,2,U}$	0.0339	271.1754
$P_{20,2,U}$	0.4230	1076.9538
$P_{20,2,U}$	0.9365	1909.1330
$P_{20,2,U}$	1.6966	3030.3800
$P_{20,2,U}$	0.2953	29.6056
$P_{20,2,U}$	0.0292	109.4154
$P_{20,2,U}$	0.0462	271.5367
$P_{20,2,U}$	0.4260	1075.9186
$P_{20,2,U}$	0.9461	1907.5554
$P_{20,2,U}$	1.7523	3030.1109

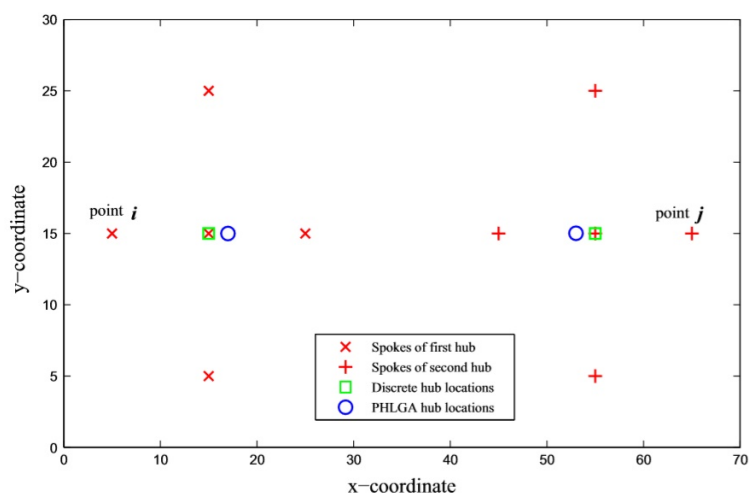
شکل ۲-۵: زمان اجرا *PHLGA* برای نمونه مسئله های شبیه سازی شده

۲-۱-۵-۲ اثر پارامتر وزن

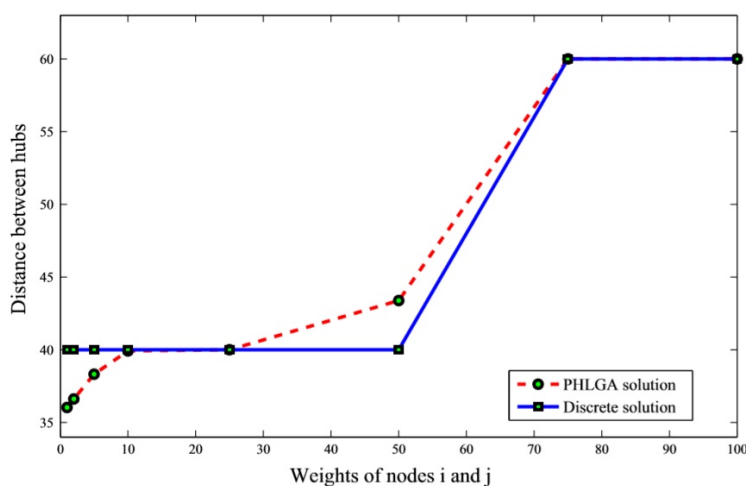
برای تفهیم اثر پارامتر وزن (w_{ij}) که نشان دهنده مقدار جریان بین جفت گره ها است، یک مسئله کوچک با ۱۰ گره و ۲ هاب تولید شده است. این گره ها در دو گروه برابر تقسیم شده اند مانند ۲-۶. پارامتر های هزینه به صورت $\alpha_c = \alpha_d = 1$ و $\alpha_t = 0.5$ قرار داده شده اند. هنگامی که در ابتدا مقدار همه ی وزن ها برابر ۱ باشند جواب *discrete* و جواب *PHLGA* در ۲-۶ نشان داده شده اند.

مکان هاب ها همانطور که وزن $w_{ij} = w_{ji}$ افزایش می یابد بر گره های i و j منطبق می شوند. همانطور که در شکل ۲-۷ می بینیم، فاصله بین هاب ها در جواب مسطح *PHLGA* مرتباً افزایش می یابد و به دو دورترین نقاط نزدیک می شود.

در جواب *discrete*، از آنجایی که یک هاب تنها ممکن است از یک اسپوک به اسپوک دیگری منتقل شود، فاصله یک تابع *stepwise* است.



شکل ۲-۶

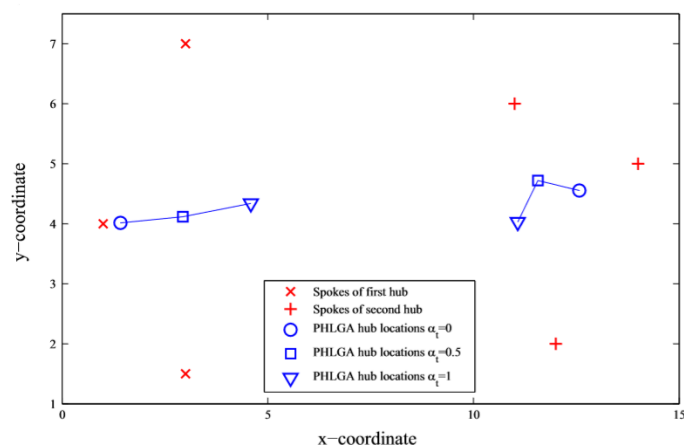


شکل ۲-۷

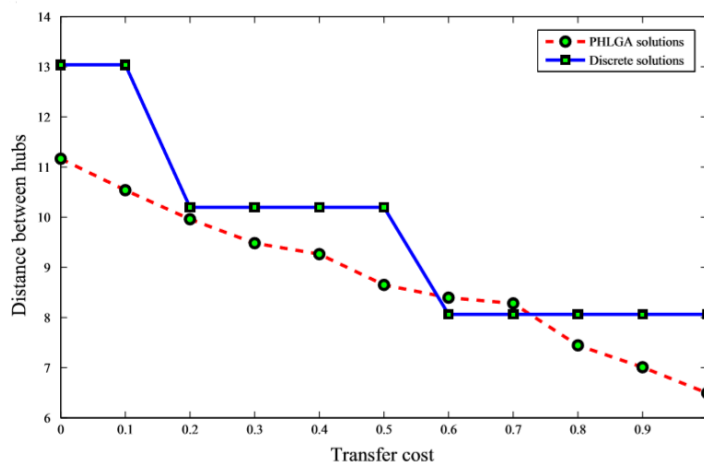
۲-۵-۱-۳ اثر پارامترهای هزینه

برای تفهیم اثر پارامترهای هزینه همانطور که در شکل ۲-۸ نشان داده شده، یک مسئله کوچک با ۶ گره و ۲ هاب تولید شده است. در این مسئله وزن ها از یک توزیع یکنواخت بین ۱ تا ۱۰ تولید شده اند. و پارامترهای هزینه اجتماع و توزیع $\alpha_c = \alpha_d = 1$ هستند. در ابتدا مقدار فاکتور تخفیف صفر قرار داده شده است و به تدریج مقدار آن تا ۱ افزایش می یابد. بعضی از جواب ها با تغییر هزینه انتقال (α_t) در شکل ۲-۸ نشان داده شده اند.

در شکل ۲-۹ تغییر فاصله بین هاب ها برای جواب های *PHLP* و *discrete* نشان داده شده است.



شکل ۲-۸



شکل ۲-۹

هنگامی که فاکتور تخفیف کاهش می یابد، هاب ها در *PHLP* به یکدیگر نزدیکتر می شوند، و هزینه انتقال به هزینه های اجتماع و توزیع نزدیکتر می شود. در *DHLP* فاصله بین هاب ها به صورت یک تابع *stepwise* کاهش می یابد، و در *PHLP* هاب ها به طور پیوسته به یکدیگر نزدیکتر می شوند.

فصل ۳

یک رویکرد خوشه بندی به مسئله مکان یابی هاب مسطح

هدف از خوشه بندی این است که داده های موجود را به چند گروه تقسیم کنند و در این تقسیم بندی، داده های گروه های مختلف باید حداکثر تفاوت ممکن را داشته باشند و داده های موجود در یک گروه باید بسیار به هم شبیه باشند. برخلاف کلاس بندی، در خوشه بندی، گروه ها از قبل مشخص نمی باشند و همچنین معلوم نیست که بر حسب کدام خصوصیات گروه بندی صورت می گیرد. نتیجه پس از انجام خوشه بندی باید یک فرد خبره خوشه های ایجاد شده را تفسیر کند و در بعضی مواقع لازم است که پس از بررسی خوشه ها بعضی از پارامتر هایی که در خوشه بندی در نظر گرفته شده اند ولی بی ربط بوده و یا اهمیت چندانی ندارند حذف شده و یا جریان خوشه بندی از اول صورت گیرد. پس از اینکه داده ها به چند گروه منطقی و توجیه پذیر تقسیم شدند از این تقسیم بندی می توان برای کسب اطلاعات در مورد داده ها یا تقسیم داده های جدید استفاده کنیم. خوشه بندی را می توان به عنوان مهم ترین روش در یادگیری بدون نظارت در نظر گرفت. در خوشه بندی هدف تقسیم کردن داده ها به خوشه ها به نحوی است که شباهت بین داده های هر خوشه حداکثر و تفاوت بین داده ها در خوشه های متفاوت حداقل باشد. در واقع این هدف، به عنوان یک معیار در انجام یک خوشه بندی خوب مدنظر است، یعنی نقاطی که در یک خوشه هستند مشابه با یکدیگر، و متفاوت از دیگر خوشه ها باشند.

فرض کنید X مجموعه ای از داده ها باشد که قصد داریم روی آنها خوشه بندی را انجام دهیم:

$$X = \{x_1, x_2, \dots, x_n\}$$

یک خوشه‌بندی m تایی از X ، افزار X به m مجموعه c_1, c_2, \dots, c_m است که سه شرط زیر را دارا است:

$$c_i \neq \emptyset \quad i = 1, 2, \dots, m \quad (\text{آ})$$

$$\bigcup_{i=1}^m c_i = X \quad (\text{ب})$$

$$c_i \cap c_j = \emptyset \quad , i \neq j \quad , i, j = 1, 2, \dots, m \quad (\text{ج})$$

به علاوه بردارهایی که در خوشه c_j هستند به هم دیگر شبیه‌اند و از خوشه‌های دیگر متفاوتند و هر بردار ویژگی تنها به یک خوشه تعلق دارد. بنابراین خوشه به مجموعه‌ای از داده‌ها گفته می‌شود که به هم شباهت داشته باشند.

گام‌های اساسی که یک متخصص به منظور توسعه خوشه‌بندی باید انجام دهد به شرح زیر است:

(آ) انتخاب ویژگی^۱: ویژگی‌ها باید به‌طور صحیح انتخاب شوند تا توصیف درستی از الگو به‌دست دهند، یعنی اطلاعات بیشتری در خصوص آن فعالیت به‌دست آوریم و اطلاعات زائد را از میان ویژگی‌هایی که هدف اصلی ماست، حذف کنیم.

(ب) میزان نزدیکی^۲ بین الگوها: این اندازه کمیته است که مشابه یا غیر مشابه بودن دو بردار ویژگی را نشان می‌دهد.

(ج) محک خوشه‌بندی^۳: محک خوشه‌بندی یا تابع هزینه به تعبیری میزان معقول^۴ بودن خوشه‌ها است و از یک نگاه تابعی است که با بهینه کردن آن روی داده‌ها، داده‌ها در خوشه‌های معقول قرار می‌گیرند. اشاره به این نکته ضروری است، نمونه‌هایی با d ویژگی طبق یک محک ممکن است در خوشه‌هایی معقول قرار بگیرند درحالی که از نگاه دیگر با یک معیار یا محک دیگر آن چنان معقول نباشد. محک خوشه‌بندی می‌تواند به‌وسیله تابع هدف یا برخی قواعد دیگر بیان گردد.

(د) الگوریتم خوشه‌بندی: الگوریتم خوشه‌بندی به اندازه نزدیکی و محکی که انتخاب می‌کنیم، بستگی دارد. در این گام یک الگوریتم که موفق به خوشه‌بندی داده‌ها شود و مبتنی بر تابع هزینه روش می‌باشد، ارائه می‌گردد.

(ه) اعتبار نتایج^۵: باید صحت و درستی نتایجی که از یک الگوریتم خوشه‌بندی به‌دست آمده است، بررسی شود. به عبارتی معیارهایی برای بررسی عملکرد خوشه‌بندی وجود دارد که نشان می‌دهد در روش خوشه‌بندی مورد نظر به چند جنبه خوشه‌بندی توجه شده است. مثلاً ممکن است پس از اجرای الگوریتم، یکنواختی خوشه به عنوان معیار به‌کار رفته اما نامتجانس بودن خوشه‌ها مورد توجه قرار نگرفته باشد.

^۱Feature selection ^۲Proximity measure ^۳Clustering criterion ^۴sensible ^۵Validation
of the results

(و) تفسیر نتایج^۱: در اکثر موارد، متخصص باید نتایج خوشه‌بندی را با دیگر شواهد تجربی به منظور به‌دست‌آوردن نتایج درست، مقایسه و تحلیل کند.

۱-۳ تاریخچه‌ای از مسأله خوشه‌بندی

خوشه‌بندی^۲ یکی از ابتدایی‌ترین فعالیت‌های ذهنی بشر است که برای استخراج مفهوم یا به بیانی دیگر خلاصه‌سازی اطلاعات استفاده می‌شود. این مفهوم در علوم مختلفی مانند علوم زیست‌شناسی و جانورشناسی، جغرافیا و زمین‌شناسی، جامعه‌شناسی و باستان‌شناسی، علوم روانپزشکی و آسیب‌شناسی، تجارت، سیستم‌های مهندسی و پردازش تصویر به‌کار برده شده است. خوشه‌بندی با توجه به زمینه‌ای که در آن استفاده می‌شود، نام‌های متفاوتی پیدا کرده است مانند یادگیری بدون ناظر در تشخیص الگو^۳، رده‌بندی جانوران در زیست‌شناسی، گونه‌شناسی در علوم اجتماعی و افراز در نظریه گراف.

۱-۱-۳ کاربرد خوشه‌بندی

خوشه‌بندی در تشخیص الگوی بدون ناظر، بینایی ماشین، تقطیع تصویر^۴ کاربرد فراوان دارد. یکی از اهداف شناسایی الگو، خوشه‌بندی داده‌هاست. از جمله کاربردهای مهم تشخیص الگو در علوم پزشکی است. طی سال‌های گذشته اطلاعات بسیاری از بیماران و تشخیص‌نهایی و نتیجه درمان آن‌ها ذخیره شده است. الگوهای مهمی درون این اطلاعات نهفته است که از چشم انسان دور مانده است. با الگوریتم‌های خوشه‌بندی می‌توان این اطلاعات را از درون داده‌ها استخراج کرد که در تشخیص بیماری‌ها به پزشکان کمک می‌کند.

۲-۳ تجزیه و تحلیل خوشه‌ای

تعریف ۱-۲-۳. تجزیه و تحلیل خوشه نوعی روش آماری است که به دنبال گروه‌بندی کردن نقاط داده‌هایی هستند که در بعضی موارد به هم نزدیک اند.

^۱ Interpretation of the results

^۲ clustering

^۳ Pattern recognition

^۴ Image segmentation

نیاز برای تفکیک ژئواستاتیکی مجموعه‌ها از طریق تجزیه و تحلیل خوشه‌ای در نتیجه موارد زیر رخ می‌دهد:

• ؟؟؟؟؟؟؟؟؟؟؟؟؟؟؟؟؟؟؟؟؟؟؟؟؟؟؟؟؟؟؟؟؟؟؟

• زمانی که سائز مجموعه‌ی در حال مطالعه بسیار بزرگ باشد؟؟؟؟؟؟؟؟؟؟؟؟؟؟؟؟؟؟؟؟؟؟؟؟؟؟

موارد بسیار قابل توجهی بین تجزیه و تحلیل خوشه‌ای غیر سلسه مراتبی (CA) و تخصیص مکان (LA) وجود دارد. به عنوان مثال، (CA) یک فرمول مربع فاصله اقلیدسی را بکار می‌برد و معمولاً مشاهدات را به صورت عبارات چند متغیره توصیف می‌کند. خروجی تجزیه و تحلیل خوشه شامل میانگین خوشه‌ها است و مشخص می‌کند که هر مشاهده عضو کدام خوشه است. مشاهدات کلاس بندی نشده ممکن است با اندازه گیری فاصله به نزدیک ترین مرکز اختصاص داده شوند. از طرف دیگر، تخصیص مکان (LA) می‌تواند به عنوان یک ژئواستاتیک خاص کاربردی (CA) در نظر گرفته شود که در آن مشاهدات با مختصاتشان در یک فضای دوبعدی مشخص می‌شوند. نتایج (LA)، مکان تسهیلات و تخصیص نقاط تقاضا به تسهیلات است. شباهت واضحی بین مفاهیم مرکز/عضویت در خوشه‌ها در (CA) و مفاهیم مکان یابی تسهیلات/تخصیص در (LA) وجود دارد. قدرت برنامه (CA) به اندازه است که می‌تواند مسائل نسبتاً بزرگ را حل کند. همچنین شرایط درجه اول خطی یک ویژگی مناسب از فرمول "کمینه مربع فاصله اقلیدسی" می‌باشد. این مزیت مربع فواصل در مدل‌های مکان یابی قبلی نیز استفاده شده است. بسیاری از مدل‌های مکان یابی با روش‌های دقیق حل می‌شوند و اگر چه روش‌های دقیق در ادبیات (CA) نیز به خوبی شناخته شده است. در این فصل برنامه جدیدی با استفاده از روش تجزیه و تحلیل خوشه به یک مسئله سخت مکان یابی یعنی مدل مکان یابی هاب مسطح ارائه داده می‌شود.

۳-۳ مقدمه

مسئله‌ای که در این فصل مورد بحث است به این شرح است که مجموعه‌ای از n نقطه که در فضای دو بعدی با یکدیگر در تعاملند را در نظر بگیرد. مشاهدات دو به دو و مستقلاً بر روی هم تاثیر می‌گذارند. هدف، خوشه‌بندی n نقطه به P گروه است، به طوری که جمع مربع انحرافات از میانگین خوشه‌ها تا حد امکان کم باشد. یک ویژگی مفید مسئله استفاده از مربع فاصله‌ها است که یک سیستم خطی از معادلات را برای مختصات مراکز خوشه‌ها نتیجه می‌دهد. این معادلات به صورت تکراری برای مجموعه‌ای از تخصیصات خوشه‌ها مشتق شده و حل می‌شوند. سپس دنباله‌ای از تخصیصات دوباره مشاهدات، بین خوشه‌ها انجام می‌شود. کاربردی از این مسئله در مسئله مکان

یابی هاب مسطح است زمانی که مشاهدات متعامل، سیستمی از شهرها باشند و تاثیرات متقابل نشانگر سطوح جریان یا حرکت بین موجودیت‌ها را نشان می‌دهند. مسئله مکان یابی هاب مسطح به مسائلی با کمتر از ۱۰۰ گره محدود شده است. استفاده از فرمول مربع فواصل، راه‌حل سریعی از سیستم‌های بزرگ با ۲۵۰ گره و چهار گروه را میسر می‌کند. این فصل دارای مثال‌هایی گویا و نتایج محاسباتی برای سیستم‌هایی با بیش از ۵۰۰ مشاهده و ۹ خوشه است.

۳-۴ الگوریتم خوشه‌بندی برای مدل مکان یابی هاب مسطح

فرض کنید n داده داریم که بر هم تاثیر دارند. واحدهای مشاهدات می‌توانند شهرها یا گره‌ها در یک شبکه، و یا اعضای یک گروه فرهنگی یا کلوب باشند. تعاملات خارجی بین این گره‌ها در یک ماتریس W با مولفه‌های w_{ij} جایگذاری می‌شوند. هر نقطه مشاهده در فضایی دوبعدی با مختصات (X_i, Y_i) مشخص می‌شود. مسئله، خوشه‌بندی مشاهدات به گروه‌هایی است به گونه‌ای که جمع مربع فواصل اعضای گروه‌ها از میانه‌ی گروه کمینه شود. علاوه بر این، از آنجا که مطلوب است تا مشاهدات با تعامل بالا را در یک گروه قرار دهیم، فرض می‌شود که جریمه اختصاص دادن مشاهده i به گروه g و مشاهده j به گروه h یک تابع افزایشی از فاصله بین مرکز گروه و سطح تعامل w_{ij} است. به طور خاص، هزینه اختصاص i به g و j به h مطابق فرمول زیر است:

$$p[i(g), j(h)] = w_{ij} (d_{ig} + d'_{gh} + d_{hj}) \quad (1-3)$$

به طوری که:

w_{ij}	سطح تعامل است
d_{ig}	مربع فاصله i از مرکز خوشه g است
d_{hj}	مربع فاصله j از مرکز خوشه h است
d'_{gh}	مربع فاصله مرکز خوشه‌ها است

فرض می‌کنیم (X_g, Y_g) مرکز گروه g برای $g = 1, \dots, p$ باشد. فواصل به این صورت تعریف می‌شوند:

$$d_{ig} = (x_i - x_g)^2 + (y_i - y_g)^2$$

برای همه $i = 1, \dots, n$ و $g = 1, \dots, p$

$$d'_{gh} = (x_g - x_h)^2 + (y_g - y_h)^2$$

برای همه $h, g = 1, \dots, p$. در قسمت اول هدف انتخاب (X_g, Y_g) به گونه ای است که

$$\min T = \sum_i \sum_j w_{ij} \sum_g \sum_h K_{ijgh} D_{ijgh} \quad (2-3)$$

به طوری که K_{ijgh} مقدار ۱ می گیرد اگر i به گروه g و j به گروه h متعلق باشد، و در غیر این صورت مقدار ۰ می گیرد. و همچنین

$$D_{ijgh} = d_{ig} + d'_{gh} + d_{hj}$$

توجه داشته باشیم که مقادیر صحیح K_{ijgh} از محدودیت زیر پیروی می کند:

$$K_{ijgh} = X_{ig} X_{jh} \quad (3-3)$$

به طوری که مقادیر X متغیرهای تخصیص هستند یعنی:

$$\sum_j X_{ij} = 1 \quad \text{for all } i \quad \text{and} \quad X_{ij} = 0 \text{ یا } 1$$

فرض می کنیم که مشاهدات به تنها یک خوشه اختصاص داده می شوند، به طوری که برای هر مشاهده نیاز داریم که تمام تعاملات آن با مشاهدات دیگر توسط همان خوشه انجام شود. در کاربرد مسئله برای شبکه های هاب اسپوک، این احتمال وجود دارد که این محدودیت ریلکس شود. کمپیل در تحقیقات اخیرش [۳، ۲۱] فرمول مدل تخصیص چند گانه را تولید کرده است و نشان داده است که با مسئله مکان یابی P -میانه (P -Median) مرتبط است. میدانیم که D_{ijgh} یک معیار اندازه گیری فاصله i از گروه g و j از گروه h و فاصله بین گروه های g و h است که با یک وزن که سطح تعامل بین i و j را نشان می دهد، ضرب شده است. این واقعیت که فاصله ”مربع” پایه ای برای D_{ijgh} است، فرضیه ای است که باید مورد تایید قرار گیرد. در مورد تجزیه و تحلیل خوشه، اندازه گیری مربع فاصله مورد پذیرش است، اما در هاب و برنامه های اسپوک مشخص نیست که مربع فاصله جایگزین خوبی برای هزینه های حمل و نقل باشد. یک روش ممکن برای بررسی صحت

اگر گره های n_1 و n_2 به صورت گرافیکی ترسیم شوند، کاملاً تصادفی است اگر تمام گره های n_1 و n_2 با یک بخش غیرهمپوشان جدا شوند. به این معنا که هیچ الزام نزدیکی برای مراکز تعامل وجود ندارد، هیچ تضمینی وجود ندارد که یک خوشه باید تنها گره های مجاور را شامل شود. در حالی که مسئله خوشه بندی متعارف به چندین گروه، یک بخش با این ویژگی تولید می کند که تمام مشاهدات نزدیک به مرکز A نسبت به مرکز B به همان گروه اختصاص داده می شوند، این یک ویژگی از مسئله هاب در حال تعامل نیست. بنابراین، نمی توانیم از استراتژی بررسی بخش های غیرمتداخل استفاده کنیم و نمی توانیم از شیوه ابتکاری مرسوم *ALTERNATING* برای تفکیک مجدد مشاهدات به ترتیب استفاده کنیم. همانطور که توسط *Aykin* و *Brown* پیشنهاد شده، یک روش جایگزین استفاده از الگوریتم های مبادله است. آنها متوجه شدند که مسئله برای یک بخش معین از گره ها به یک مسئله چند وجهی و بر کاهش می یابد. سپس روش *Cooper* به طور تکراری مورد استفاده قرار می گیرد تا به مکان وجه ها برسد. نتایج به سیستم های تعاملی نسبتاً کوچک محدود می شوند و او معتقد است که بزرگترین مسئله حل شده تا به امروز که در آن از این دستورالعمل استفاده شده است، به صورت $n = 60$ و $p = 20$ است و این مسئله با پردازشگر $VAX 11/530$ بیش از 30 دقیقه طول کشیده است. هر چند مسائل کوچکتر مانند $n = 20$ و $p = 4$ حدود 3 ثانیه طول کشیده است. در این مورد، انگیزه اصلی این است که از تالیفات حوزه خوشه بندی راهنمایی گرفته شود و برای حل مسائل بزرگ با صدها مشاهده تلاش شود. برای رسیدن به این هدف، بر روی فرمول بندی مناسب از مسافت با مربع فاصله اقلیدسی تأکید شده است.

۳-۵ روش حل الگوریتم

یادآوری می کنیم که D_{ijgh} مجموع فواصل نقاط درونی با مراکز خوشه ها و فواصل مراکز خوشه ها است. بنابراین هدف این است که:

$$\min_{(x_1, y_1) \dots (x_p, y_p)} T = \sum_i \sum_j w_{ij} \sum_g \sum_h K_{ijgh} D_{ijgh} \quad (4-3)$$

$$\begin{aligned} \frac{\partial d_{ig}}{\partial y_g} &= \text{به طور مشابه} \quad \frac{\partial d_{ig}}{\partial x_h} = 0 \text{ اما اگر } h \neq g \text{ آنگاه} \quad \frac{\partial d_{ig}}{\partial x_g} = -2(x_i - x_g) \\ \frac{\partial d'_{gh}}{\partial y_g} &= \frac{\partial d'_{gh}}{\partial x_g} = 2(x_g - x_h) \text{ به علاوه} \quad \frac{\partial d_{ig}}{\partial y_h} = 0 \text{ اما اگر } h \neq g \text{ آنگاه} \quad -2(y_i - y_g) \\ &\quad \frac{\partial d'_{gh}}{\partial y_h} = -2(y_g - y_h), \quad \frac{\partial d'_{gh}}{\partial x_h} = -2(x_g - x_h) \text{ در نهایت} \end{aligned}$$

ترکیب این مشتقات با تعاریف D_{ijgh} به شرح زیر است:

$$\frac{\partial D_{ijgh}}{\partial x_k} = \begin{cases} \circ & \text{if } (g = h) \neq k \\ -\Psi(x_i - x_k) - \Psi(x_j - x_k) & \text{if } g = h = k \\ \circ & \text{if } g \neq h, g \neq k, h \neq k \\ -\Psi(x_i - x_k) + \Psi(x_k - x_h) & \text{if } g \neq h, g = k \\ -\Psi(x_i - x_k) + \Psi(x_k - x_g) & \text{if } g \neq h, h = k \end{cases}$$

جایگزینی مشتقات:

$$\frac{\partial T}{\partial x_k} = \sum_i \sum_j w_{ij} \sum_g \sum_h k_{ijgh} \left(\frac{\partial D_{ijgh}}{\partial x_k} \right) \quad k = 1, \dots, p \quad (\text{A.1})$$

$$\frac{\partial T}{\partial y_k} = \sum_i \sum_j w_{ij} \sum_g \sum_h k_{ijgh} \left(\frac{\partial D_{ijgh}}{\partial y_k} \right) \quad k = 1, \dots, p \quad (\text{A.2})$$

مولفه اصلی محاسبات $\sum_g \sum_h k_{ijgh} \left(\frac{\partial D_{ijgh}}{\partial x_k} \right)$ است، که هم اکنون ساده می شود. مشخصاً $\frac{\partial D_{ijgh}}{\partial y_k} = \circ$ اگر نه g و نه h برابر k باشند. بنابراین $\sum_g \sum_h k_{ijgh} \left(\frac{\partial D_{ijgh}}{\partial x_k} \right)$ با قرار دادن $g = k$ و $h = k$ به نوبه خود می تواند محاسبه شود:

$$\begin{aligned} I_{ij} &= \sum_g \sum_h k_{ijgh} \left(\frac{\partial D_{ijgh}}{\partial x_k} \right) \\ &= \sum_{h \neq k} k_{ijgh} \left(\frac{\partial D_{ijgh}}{\partial x_k} \right) + \sum_{g \neq k} k_{ijgk} \left(\frac{\partial D_{ijgk}}{\partial x_k} \right) + k_{ijkk} \frac{\partial D_{ijkk}}{\partial x_k} \end{aligned} \quad (\text{A.3})$$

سپس،

$$\begin{aligned} I_{ij} &= \sum_{h \neq k} k_{ijk h} \left(-\Psi(x_i - x_k) + \Psi(x_k - x_h) \right) \\ &\quad + \sum_{g \neq k} k_{ijgk} \left(-\Psi(x_j - x_k) + \Psi(x_k - x_g) \right) \\ &\quad + k_{ijkk} \left(-\Psi(x_i - x_k) - \Psi(x_j - x_k) \right) \end{aligned} \quad (\text{A.4})$$

و از طریق بررسی دقیق می بینیم که آخرین عبارت می تواند در دو مجموع اول جذب شود. در

نهایت، مجموع همه عبارت های آخر، می بینیم که مشتقات جزئی زیر باید به صفر برسد.

$$\frac{\partial T}{\partial x_k} = \sum_i \sum_j w_{ij} \left\{ \sum_h k_{ijkh} (-\Psi(x_i - x_k) + \Psi(x_k - x_h)) + \sum_g k_{ijgk} (-\Psi(x_j - x_k) + \Psi(x_k - x_g)) \right\} = 0 \quad (A.5)$$

$$\frac{\partial T}{\partial y_k} = \sum_i \sum_j w_{ij} \left\{ \sum_h k_{ijkh} (-\Psi(y_i - y_k) + \Psi(y_k - y_h)) + \sum_g k_{ijgk} (-\Psi(y_j - y_k) + \Psi(y_k - y_g)) \right\} = 0 \quad (A.6)$$

در ادامه کار با $\frac{\partial T}{\partial x_k}$ برای جدا کردن عبارت x_k تقسیم طرفین بر Ψ و مرتب سازی مجدد، می بینیم که $\frac{\partial T}{\partial x_k}$ اشاره دارد بر اینکه

$$\sum_i \sum_j w_{ij} \left\{ \sum_h K_{ijkh} (\Psi x_k - x_h) + \sum_g K_{ijgk} (\Psi x_k - x_g) \right\} = s_k(x) \quad (A.7)$$

که $s_k(x) = \sum_i \sum_j w_{ij} \left\{ \sum_h k_{ijkh}(x_i) + \sum_g k_{ijgk}(x_j) \right\}$ یک ثابت است، برای یک تفکیک داده شده از مشاهدات درون خوشه ها. یک ثابت مشابه از $\frac{\partial T}{\partial y_k} = 0$ محاسبه شده است. جدا کردن x_k نسبتاً ساده است: از معادله قبلی داریم

$$\sum_h (\Psi x_k - x_h) \sum_i \sum_j w_{ij} (k_{ijkh} + k_{ijhk}) = s_k(x) \quad (A.8)$$

بنابراین

$$(A.9)$$

$$x_k \Psi \left(\sum_h \sum_i \sum_j w_{ij} (k_{ijkh} + k_{ijhk}) \right) - \sum_h x_h \left(\sum_i \sum_j w_{ij} (k_{ijkh} + k_{ijhk}) \right) = s_k(x)$$

که $s_k(x) = \sum_i \sum_j w_{ij} \left\{ \sum_h k_{ijkh}(x_i) + \sum_g k_{ijgk}(x_j) \right\}$ با تعاریف مناسب از ضرایب a_k و b_{kh} ، دستگاه معادلات زیر بدست می آیند. بنابراین x_k از دستگاه زیر

حل می شود:

$$\begin{pmatrix} a_1 - b_{11} & -b_{12} & \dots & -b_{1p} \\ -b_{21} & a_2 - b_{22} & \dots & -b_{2p} \\ \vdots & \vdots & \vdots & \vdots \\ -b_{p1} & -b_{p2} & \dots & a_p - b_{pp} \end{pmatrix} \begin{pmatrix} x_1 \\ x_2 \\ \vdots \\ x_p \end{pmatrix} = \begin{pmatrix} s_1(x) \\ s_2(x) \\ \vdots \\ s_p(x) \end{pmatrix} \quad (5-3)$$

که

$$a_k = \sum_h \sum_i \sum_j w_{ij} (k_{ijkh} + k_{ijhk})$$

$$b_{kh} = \sum_i \sum_j w_{ij} (k_{ijkh} + k_{ijhk})$$

$$s_k(x) = \sum_i \sum_j w_{ij} \left\{ \sum_h k_{ijkh}(x_i) + \sum_g k_{ijgk}(x_j) \right\}$$

یک دستگاه مشابه از معادلات با مقادیر سمت راست متناظر

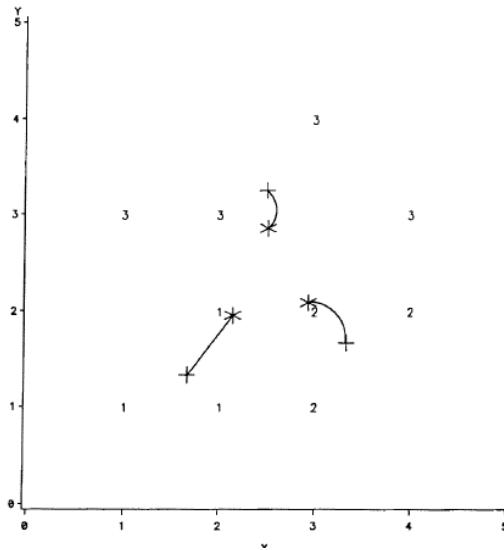
$$s_k(y) = \sum_i \sum_j w_{ij} \left\{ \sum_h k_{ijkh}(y_i) + \sum_g k_{ijgk}(y_j) \right\}$$

برای مولفه y مرکز خوشه ها، داریم:

$$\begin{pmatrix} a_1 - b_{11} & -b_{12} & \dots & -b_{1p} \\ -b_{21} & a_2 - b_{22} & \dots & -b_{2p} \\ \vdots & \vdots & \vdots & \vdots \\ -b_{p1} & -b_{p2} & \dots & a_p - b_{pp} \end{pmatrix} \begin{pmatrix} y_1 \\ y_2 \\ \vdots \\ y_p \end{pmatrix} = \begin{pmatrix} s_1(y) \\ s_2(y) \\ \vdots \\ s_p(y) \end{pmatrix} \quad (6-3)$$

۶-۳ حل یک مسئله

به عنوان یک مثال از روش هایی که در بخش قبل توضیح داده شد، یک نمونه عددی کوچک ارائه داده شده است. ده نقطه تعامل را در شکل یک در نظر می گیریم. فرض می کنیم این نقاط به خوشه هایی که در جدول یک نشان داده شده، اختصاص دارند.



شکل ۳-۱: مشاهدات و مراکز خوشه ها

point	x_i, y_i	Allocated to group
۱	۱،۱	۱
۲	۲،۱	۱
۳	۳،۱	۲
۴	۴،۲	۲
۵	۲،۲	۱
۶	۳،۲	۲
۷	۴،۳	۳
۸	۱،۳	۳
۹	۲،۳	۳
۱۰	۳،۴	۳

جدول ۳-۱: نقاط داده ها و نمونه جواب

با استفاده از دستگاه های مختصات (۵-۳) و (۶-۳) ماتریس ضرایب را برای این سیستم بدست آورده ایم، که به صورت زیر است:

$$A = \begin{pmatrix} 884 & -126 & -268 \\ -126 & 1024 & -308 \\ -268 & -308 & 1696 \end{pmatrix}$$

g	$S_g(x)$	$S_g(y)$	x_g	y_g
1	850	700	2.140422	1.95328
2	1960	1010	2.932368	2.084222
3	2780	3670	2.509907	2.851073

در تفکیک به صورت مشخص شده، گره ها به شدت با گروه سوم تعامل دارند، بنابراین انتظار می رود که مرکز گروه ها به سمت اعضای گروه ۳ کشیده شوند، که این موضوع در شکل ۱ واضح است. مراکز قراردادی هر دو گروه که به سادگی با داشتن میانگین مختصات x و y اعضای گروه ها بدست می آیند، با علامت + مشخص شده اند. همچنین مراکز محاسبه شده با فرمول تعاملی با علامت * مشخص شده اند.

در بخش بعدی به تخصیص مجدد نقاط به خوشه ها می پردازیم.

۷-۳ تخصیص مجدد

نتایج تاکنون بر روی مجموعه ای از متغیر های عدد صحیح داده شده K_{ijgh} پیش بینی شده بودند که نشان می دهد i و j به کدام خوشه ها اختصاص داده شده اند. لازم است که جواب ها از نظر این متغیر های تخصیص بررسی شوند. شمارش کامل غیر ممکن است. بنابراین، روشی توسعه یافته است که اختصاص مشاهدات به خوشه های مختلف دیگر را می آید و جستجو می کند تا تفکیک های خوبی از مشاهدات را بیابد.

فرض کنید p_g لیستی از مشاهدات باشد که به خوشه g اختصاص داده شده اند. و همچنین n_g تعداد گره های اختصاص داده شده به خوشه g باشد، که با تعداد عناصر موجود در p_g متناظر است. برای h نابرابر با g ، تخصیص مجدد گره ها از خوشه g به خوشه h را در نظر می گیریم. این تخصیص مجدد به روش زیر تعریف می شود. فرض کنید

$$P_g^- = P_g - \{i\} \quad (۷-۳)$$

$$P_h^+ = P_h + \{i\} \quad \text{برای } h \text{ نابرابر با } g \quad (۸-۳)$$

بنابراین می توان مجموعه ای از همه انتقال های تک مبادله را با ارزیابی P_g^- و P_h^+ برای همه i, g و h مناسب تولید کرد. برای انجام تخصیص مجدد باید گره اختصاص داده شده به هر خوشه ای را

در نظر بگیریم و چیز های دیگر را ثابت نگه داریم، مجددا این گره را به هر یک از خوشه های دیگر اختصاص می دهیم. می دانیم n_g تعداد گره های اختصاص داده شده به خوشه g است. هر کدام از این گره ها به $p - 1$ خوشه دیگر قابل تخصیص اند. به طوری که با انجام این کار برای هر خوشه به نوبه خود، تعداد تخصیص های مجدد برابر است با $n(p - 1) = \sum_g n_g(p - 1)$

۳-۸ روش های تخصیص مجدد

تخصیص مجدد در دو روش مختلف سازمان دهی شده است، به طوری که در روش اول هر بار که یک تخصیص مجدد آزمایشی انجام می شود، میانگین خوشه ها را دوباره تخمین می زند، و در روش دوم، قبل از اینکه تخصیص مجدد را مد نظر بگیرد، مراکز را معین می کند. در ادامه به جزئیات این دو روش می پردازیم.

روش ۱

از آنجایی که مراکز خوشه ها به طور چشم گیری وابسته به مشاهدات اختصاص یافته به هر خوشه است، واضح است که مراکز خوشه باید هر بار مجددا محاسبه شود. هر بار که یک مشاهده مجددا به یک خوشه دیگر اختصاص داده می شود، مراکز دوباره محاسبه می شود، که این کار زمان بر است زیرا دستگاه های معادلات خطی در هر مرحله به طور مرتب حل می شوند. برای کاهش بار محاسبات، کار بسیاری نمی توان انجام داد. متغیر های عدد صحیح k با هر انتقال نیازی نیست کاملا ارزیابی مجدد شوند. محاسبات دقیق به ما امکان می دهد که به محض اینکه مشاهده i از خوشه g به خوشه h منتقل شوند متغیر های عدد صحیح را بروز رسانی کنیم. با وجود اینکه این روش برای تجزیه و تحلیل خوشه ای از نظر محاسباتی سنگین است، مزیتش این است که هدف همیشه با توجه به میانگیت خوشه اصلاح شده اش سنجیده می شود. بنابراین، هر ارزیابی تابعی با استفاده از مراکز خوشه مناسب انجام می شود.

روش ۲

این روش نسبت به روش ۱ ساده تر است و از ۳ مرحله تشکیل شده است:

- ابتدا مراکز خوشه ها محاسبه می شود.

- به طور موقت گره i را، مرتبا از خوشه g ، به خوشه $1, 2, \dots, g-1, g+1, \dots, p$ اختصاص داده می شود، که اگر تابع هدف را بهبود بخشید گره مجددا نشان گذاری می شود. که این مقدار تابع هدف بر اساس مراکز خوشه ها که قبلا بدست آمده است، محاسبه می شود.

- دور کامل الگوریتم تعیین می کند که آیا هر گونه تخصیص مجدد می تواند ساخته شده باشد. یک عملکردی که در این زمینه می تواند مورد استفاده قرار گیرد استفاده از مراکز خوشه تقریبی و اجتناب از محاسبه دوباره است، که خود صرفه جویی خوبی است. در این عملکرد، مراکز خوشه ها از تخصیص به تخصیص مصون باقی می ماند و بنابراین بخش قابل توجهی از تابع هدف یکسان باقی می ماند، در صورتی که تخصیص مجدد در نظر گرفته شده است. در واقع تنها عناصر تابع هدف که باید تجدید نظر شوند، آنهایی هستند که شامل نوعی تعامل با مشاهدات مجدد تخصیص یافته هستند.

در مقاله آیکین و براون^۱ [۱۶] از عملکردی مشابه استفاده کرده است، که به شرح زیر است: مشاهده i را در نظر بگیرید که باید از خوشه g به خوشه h مجددا تخصیص داده شود. تنها محاسبه مورد نیاز مجموعه ای از تفاضلات (برای هزینه مسیر یابی i از طریق g) و مجموعه ای از جمع ها (برای هزینه مسیر یابی i از طریق h به جای g) است. سپس اگر $T(i, h)$ و $T(i, g)$ به ترتیب توابع هدف جدید و قدیمی باشند محاسبات به صورت زیر هستند:

$$T(i, h) = T(i, g) + D_1 + D_2 + D_3 \quad (9-3)$$

که

$$D_1 = \sum_{k \neq i} w_{ki} \{ [d'_{p(k)h} + d_{hi}] - [d'_{p(k)g} + d_{gi}] \} \quad (10-3)$$

$$D_2 = \sum_{k \neq i} w_{ik} \{ [d_{ih} + d'_{hp(k)}] - [d_{ig} + d'_{gp(k)}] \} \quad (11-3)$$

$$D_3 = w_{ii} \{ [d_{ih} + d_{hi}] - [d_{ig} + d_{gi}] \} \quad (12-3)$$

که $p(k)$ نشان دهنده خوشه ای است که مشاهده k عضو آن است. می دانیم که اگر $w_{ii} = 0$ آنگاه $D_3 = 0$ است.

^۱Aykin and Brown

به طور خلاصه در روش ۲ مشاهدات مجدداً به خوشه ای دیگر تخصیص داده می شوند و بدون محاسبه مجدد مراکز خوشه ها با هر تخصیص مجدد، و استفاده از معادله (۳-۹) که در پاراگراف قبلی نشان داده شده است، مقدار تابع هدف جدید را بدست می آوریم که اگر مقدار تابع هدف بهتر شده باشد در این صورت مشاهده را دوباره نشان گذاری می کنیم. هدف روش ۲ این است که مقدار تابع هدف را از یک تخمین "ثابت" از مراکز خوشه ها محاسبه کند،

۹-۳ نتایج محاسبات

زمان اجرا برای مجموعه ای از ۵ مساله در جدول ۳-۲ گزارش داده شده است. سه پارامتر که در هر مسئله استفاده شده عبارتند از:

n تعداد نقاط تصادفی است

P تعداد خوشه های مورد نیاز است

m تعداد تکرار مساله است

نقاط تعامل در یک مربع $۵۰ * ۵۰$ توزیع می شوند. هنگامی که $P = ۴$ است تخصیصات اولیه در ۴ مربع $۲۵ * ۲۵$ می باشند و در حالت $P = ۹$ در ۹ سلول $\frac{۵۰}{۳} * \frac{۵۰}{۳}$ می باشند. این تعداد خوشه ها بر اساس سهولت توسعه یک تفکیک یکنواخت اولیه انتخاب شده اند. مساله ۱ این است که ۲۵۰ نقطه را به ۴ خوشه تقسیم کنیم

Problem	n	p	m	CYCLES average	CPU secs per repetition of problem	Aggregate CPU sec
1	250	4	100	15.17	14.26	1428.64
2	375	4	96	19.05	39.66	3815.98
3	500	4	51	20.39	74.65	3818.19
4	250	9	39	26.87	97.32	3823.52
5	500	9	4	54.75	765.50	3806.09

شکل ۳-۲: نتایج CRAY Y-MP

فهرست منابع

- [1] Alev SA, kara BY. Network hub location problems:the state of art. // www.ctan.org/pkg/xepersian, 2015.
- [2] Me O. A quadratic integer program for the location of interacting hub facilities. *Eur J Oper Res* 1987;32:393–404. doi: [http://dx.doi.org/10.1016/S0377-2217\(87\)80007-3](http://dx.doi.org/10.1016/S0377-2217(87)80007-3).
- [3] Campbell, J. F. Integer programming formulations of discrete hub location problems. *European Journal of Oper. Res.*, 72(2):387–405, 1994.
- [4] Arnst AT, Krishnamoorthy M. Efficient algorithms for the uncapacitated single allocation p-hub median problem. *LocatSci*1996;4:139–54. [http://dx.doi.org/10.1016/S0966-8349\(96\)00011-3](http://dx.doi.org/10.1016/S0966-8349(96)00011-3).
- [5] Ernst AT, Krishnamoorthy M. Exact and heuristic algorithms for the uncapacitated multiple allocation p-hub median problem. *Eur J Oper Res* 1998;104:100–12. [http://dx.doi.org/10.1016/S0377-2217\(96\)00340-2](http://dx.doi.org/10.1016/S0377-2217(96)00340-2).
- [6] O’Kelly M.E. , Bryan D. , Skorin-Kapov D. , Skorin-Kapov J. Hub network design with single and multiple allocation: a computational study. *Location Science*, 4, 125–138.. [https://doi.org/10.1016/S0966-8349\(96\)00015-0](https://doi.org/10.1016/S0966-8349(96)00015-0).
- [7] Klincewicz JG. Heuristics for the p-hub location problem. *Eur J Oper Res* 1991;53:25–37 [http://dx.doi.org/10.1016/0377-2217\(91\)90090-I](http://dx.doi.org/10.1016/0377-2217(91)90090-I).
- [8] Klincewicz JG. A voiding local optima in the p-hub location problem using tabu search and grasp. *Ann Oper Res*1992;40:283–302 <http://dx.doi.org/10.1007/BF02060483>.
- [9] Abdinnour-Helm S. Using simulated annealing to solve the p-hub median problem. *Int J Phys Distrib Logist Manage* 2001;31:203–20. <http://dx.doi.org/10.1108/09600030110389532>.
- [10] Topcuoglu H, Corut F, Ermis M,Yilmaz G. Solving the uncapacitated hub location problem using genetic algorithms. *ComputOperRes*2005;32:967–84. <http://dx.doi.org/10.1016/j.cor.2003.09.008>.

- [11] Kratica J, Stanimirovic Z, Tosic D, Filipovic V. Two genetic algorithms for solving the uncapacitated single allocation p-hub median problem. *Eur J Oper Res* 2007;182:15–28. <http://dx.doi.org/10.1016/j.ejor.2006.06.056>.
- [12] Ilic A, Urosevic D, Brimberg J, Mladenovic N. A general variable neighborhood search for solving the uncapacitated single allocation p-hub median problem. *Eur J Oper Res* 2010; 36: 289–300. <http://dx.doi.org/10.1016/j.ejor.2010.02.022>.
- [13] O’Kelly ME. The location of interacting hub facilities. *Transportation Science* 1986; 20: 92–106. . <http://dx.doi.org/10.1007/BF02060486>.
- [14] Aykin T. On the location of hub facilities. *Transp. Sci.* 22(1988)155-157. <http://dx.doi.org/10.1287/trsc.26.3.212>.
- [15] Aykin T. The hub location and routing problem. *European Journal of Operational Research* 1995; 83; 200–219. .
- [16] Aykin T, Brown GF. Interacting new facilities and location–allocation problems. *Transp Sci* 1992;26:212–22. <http://dx.doi.org/10.1287/trsc.26.3.212>.
- [17] O’Kelly ME. clustering approach to the planar hub location problem. *Ann Oper Res* 1992; 40: 339–53. .
- [18] Campbell JF, O’Kelly ME. Twenty-five years of hub location research. *Transp Sci* 2012;46:153–69. <http://dx.doi.org/10.1287/trsc.1120.0410>.
- [19] Eyster JW, White JA, Wierwille WW. On solving multifacility location problems using a hyperboloid approximation procedure. *Am Inst Ind Eng Trans* 1973;5:1–6 URL: <http://www.jstor.org/stable/171609>.
- [20] Weiszfeld E. Sur le point par lequel la somme des distances de n points donnés est minimum. *Tohoku Math J* 1937;43:355–86. <http://dx.doi.org/10.1007/s10479-008-0352-z>.
- [21] Campbell JF. Hub location and the p-hub median problem. *Oper Res* 1996;44:923–35 URL: <http://www.jstor.org/stable/171583>.
- [22] Campbell JF. Locating transportation terminals to serve an expanding demand. *Transp Res Part B: Methodol* 1990;24: 173–92. [http://dx.doi.org/10.1016/0191-2615\(90\)90015-Q](http://dx.doi.org/10.1016/0191-2615(90)90015-Q).
- [23] Megiddo N, Supowit KJ. On the complexity of some common geometric location problems. *SIAM J Comput* 1984;13:182–96. <http://dx.doi.org/10.1137/0213014>.
- [24] Falkenauer E. Genetic algorithms and grouping problems. New York: Wiley; 1998.

[25] Weiszfeld E. Sur le point par lequel la somme des distances de n points donnés est minimum. *Tohoku Math J* 1937;43:355–86. <http://dx.doi.org/10.1007/s10479-008-0352-z>.

پیوست آ

کد برنامه‌های روش خوشه بندی مسئله مکان یابی هاب مسطح

برنامه آ-۱: کد محاسبه مقادیر D_{ijgh}

```
۱ function D = computed(X,idx,hubs)
۲ % M. Amintoosi
۳ N = size(X,1);
۴ NCluster = size(hubs,1);
۵ D = zeros(N,N,NCluster,NCluster);
۶ d = pdist2(X,hubs);
۷ dp = pdist2(hubs,hubs);
۸ for i=1:N
۹     for j=1:N
۱۰         g= idx(i);
۱۱         h=idx(j);
۱۲         D(i,j,g,h) = d(i,g) + dp(g,h) + d(j,h);
۱۳     end
۱۴ end
```

برنامه آ-۲: کد محاسبه مقادیر K_{ijgh}

```
۱ function K = computeK(X,idx,hubs)
۲ % M. Amintoosi
۳ N = size(X,1);
۴ NCluster = size(hubs,1);
۵ K = zeros(N,N,NCluster,NCluster);
۶ for i=1:N
۷     for j=1:N
```

```

۸         k = idx(i);
۹         h = idx(j);
۱۰        K(i,j,k,h) = 1;
۱۱        end
۱۲ end

```

برنامه آ-۳: کد تابع هدف

```

۱ function T = objfun(X,hubs,W,K,D)
۲ % M.Amintoosi
۳ N = size(X,1);
۴ NCluster = size(hubs,1);
۵ T = 0;
۶ for i=1:N
۷     for j=1:N
۸         t = 0;
۹         for g=1:NCluster
۱۰            for h=1:NCluster
۱۱                t = t + K(i,j,g,h)*D(i,j,g,h);
۱۲            end
۱۳        end
۱۴        T = W(i,j)*t;
۱۵    end
۱۶ end

```

برنامه آ-۴: کد خوشه بندی

```

۱ % M.Amintoosi;
۲
۳
۴ X = [1,1;...
۵     2,1;
۶     3, 1;
۷     4, 2 ;
۸     2,2 ;
۹     3,2 ;
۱۰    4,3 ;
۱۱    1,3 ;
۱۲    2,3 ;
۱۳    3,4 ];
۱۴ NCluster = 3;
۱۵ % [idx,C] = kmeans(X,kC);
۱۶ % [X idx]
۱۷
۱۸ idx = [1 1 2 2 1 2 3 3 3 3]';
۱۹
۲۰ N = size(X,1);
۲۱ W = zeros(N);

```

```

22 for i=1:N
23     for j=1:N
24         W(i,j) = i+j;
25     end
26 end
27
28 for i=1:N
29     for j=1:i
30         x1 = X(i,1);
31         y1 = X(i,2);
32         x2 = X(j,1);
33         y2 = X(j,2);
34         d(i,j)=round(sqrt((x1-x2)^2+(y1-y2)^2));
35         d(j,i)=d(i,j);
36     end
37 end
38 hubs = zeros(NCluster,size(X,2));
39 for k=1:NCluster
40     hub = mean(X(idx==k,:),1);
41     hubs(k,:) = hub;
42 end
43
44 maxIter = 10;
45 figure(1); clf
46 markers = {'or','og','ob'};
47 cMarkers = {'<r','sg','pb'};
48 for r=1:maxIter
49
50     K = computeK(X,idx,hubs);
51     %%
52     hold on;
53     for k=1:NCluster
54         plot(X(idx==k,1),X(idx==k,2),markers{k});
55         plot(hubs(k,1),hubs(k,2),cMarkers{k},'MarkerSize
56             ',12+2*r);
57     end
58     hold off;
59     drawnow
60     pause(.5);
61     D = computeD(X,idx,hubs);
62     T = objfun(X,hubs,W,K,D);
63     title(sprintf('T = %f',T));
64     %%
65     a = zeros(1,NCluster);
66     for k=1:NCluster
67         for h=1:NCluster
68             for i=1:N
69                 for j=1:N
50                 a(k) = a(k)+W(i,j)*(K(i,j,k,h)+K(i,j

```



```

                                ,h,k));
V0         end
V1         end
V2         end
V3         end
V4
V5         b = zeros(NCluster,NCluster);
V6         for k=1:NCluster
V7             for h=1:NCluster
V8                 for i=1:N
V9                     for j=1:N
A0                         b(k,h) = b(k,h)+W(i,j)*(K(i,j,k,h)+K
                                (i,j,h,k));
A1                     end
A2                 end
A3             end
A4         end
A5
A6         aa = diag(2*a);
A7         A = aa-b;
A8
A9         SX = zeros(NCluster,1);
90         for k=1:NCluster
91             for i=1:N
92                 for j=1:N
93                     t1 = 0;
94                     for h=1:NCluster
95                         t1 = t1+K(i,j,k,h)*X(i,1);
96                     end
97                     t2 = 0;
98                     for g=1:NCluster
99                         t2 = t2+K(i,j,g,k)*X(j,1);
100                    end
101                    SX(k) = SX(k)+W(i,j)*(t1+t2);
102                end
103            end
104        end
105
106        SY = zeros(NCluster,1);
107        for k=1:NCluster
108            for i=1:N
109                for j=1:N
110                    t1 = 0;
111                    for h=1:NCluster
112                        t1 = t1+K(i,j,k,h)*X(i,2);
113                    end
114                    t2 = 0;
115                    for g=1:NCluster
116                        t2 = t2+K(i,j,g,k)*X(j,2);

```

```

۱۱۷         end
۱۱۸         SY(k) = SY(k)+W(i,j)*(t1+t2);
۱۱۹     end
۱۲۰     end
۱۲۱ end
۱۲۲
۱۲۳ x = pinv(A)*SX;
۱۲۴ y = pinv(A)*SY;
۱۲۵ hubs = [x,y];
۱۲۶ idx = reallocation(X,hubs,W,idx);
۱۲۷ end

```

برنامه آ-۵: کد تخصیص مجدد

```

۱ function bestIdx = reallocation(X,hubs,W,idx)
۲ % M.Amintoosi
۳ N = size(X,1);
۴ NCluster = size(hubs,1);
۵ idxOld = idx;
۶ minT = inf;
۷ bestIdx = idx;
۸ for i=1:N
۹     listNewCIndices = setdiff(1:NCluster,idx(i));
۱۰    for ind = listNewCIndices
۱۱        idx = idxOld;
۱۲        idx(i) = ind;
۱۳        K = computeK(X,idx,hubs);
۱۴        D = computed(X,idx,hubs);
۱۵        T = objfun(W,K,D);
۱۶        if T<minT
۱۷            minT = T;
۱۸            bestIdx = idx;
۱۹        end
۲۰    end
۲۱ end

```

واژه‌نامه فارسی به انگلیسی

Fitness	برازندگی
Local Optimum	بهینه‌ی محلی
Parameter	پارامتر
Computational Complexity	پیچیدگی محاسباتی
Crossover	تقاطع
Swap	جاب‌جایی
Replacement	جایگزینی
Population	جمعیت
Solution	جواب
Mutation	جهش
Roulette Wheel	چرخ رولت
Move	حرکت
Gene	ژن
Variation Operator	عملگر تغییر
Spoke	غیرهاب
Offspring	فرزند
Chromosome	کروموزوم
Candidate List	لیست کاندید
Tabu List	لیست ممنوعه
Tabu Tenure	مدت ممنوعه
Decision Problem	مسئله تصمیم
Aspiration Criteria	معیار تنفس
Hub	هاب

Hub هاب

واژه‌نامه انگلیسی به فارسی

Fitness	برازندگی
Local Optimum	بهینه‌ی محلی
Parameter	پارامتر
Computational Complexity	پیچیدگی محاسباتی
Crossover	تقاطع
Swap	جاب‌جایی
Replacement	جایگزینی
Population	جمعیت
Solution	جواب
Mutation	جهش
Roulette Wheel	چرخ رولت
Move	حرکت
Gene	ژن
Variation Operator	عملگر تغییر
Spoke	غیرهاب
Offspring	فرزند
Chromosome	کروموزوم
Candidate List	لیست کاندید
Tabu List	لیست ممنوعه
Tabu Tenure	مدت ممنوعه
Decision Problem	مسئله تصمیم
Aspiration Criteria	معیار تنفس
Hub	هاب

Hub هاب

Hakim Sabzevari University

An Outline of MSc. Thesis



دانشگاه حکیم سبزواری

Surname:Hasanzadeh

Name:Zahra

Student No.:9313133039

Supervisor: Dr. Mahmood Amintoosi

Advisor: Dr. Mehdi Zaferanieh

Faculty of Mathematics and Computer Science

Program: Applied Mathematics Field:Operational Research

Title of thesis: A genetic algorithm for the uncapacitated single allocation planar hub location problem

Keywords:Genetic algorithms, Hub location problems, Planar hub location problems

Abstract:



دانشگاه حکیم سبزواری

Hakim Sabzevari University
Faculty of Mathematics and Computer Science

**A Thesis Submitted in Partial Fulfilment of the
Requirement for the Degree of Master of Science in
Applied Mathematics**

A genetic algorithm for the uncapacitated single allocation planar hub location problem

Supervisor:
Dr. Mahmood Amintoosi

Advisor:
Dr. Mehdi Zaferanieh

By:
Zahra Hasanzadeh